

DUACS DT2021 reprocessed altimetry improves sea level retrieval in the coastal band of the European Seas

Antonio Sánchez-Román¹, M. Isabelle Pujol², Yannice Faugère², Ananda Pascual¹

¹Instituto Mediterráneo de Estudios Avanzados, C/Miquel Marqués, 21, 07190 Esporles, Spain

²Collecte Localisation Satellites, Parc Technologique du Canal, 8-10 rue Hermès, 31520 Ramonville-Saint-Agne, France

Correspondence to: Antonio Sánchez Román (asanchez@imedea.uib-csic.es)

Abstract. More than 29 years of altimeter data have been recently reprocessed by the multi satellite Data Unification and Altimeter Combination System (DUACS) and made available under the name of DT2021 processing through the Copernicus Marine Service (CMEMS) and the Copernicus Climate Change (C3S) Service. New standards have been applied and various geophysical correction parameters have been updated compared to the previous release in order to improve the product quality.

This paper describes the assessment of this new release through the comparison of both all satellites and two satellites products with external in situ tide gauge measurements in the coastal areas of the European Seas for a time period spanning from 1 January 1993 to 31 May 2020. The aim is to quantify the improvements on the previous DT2018 processing version on the retrieval of sea level in the coastal zone. The results confirmed that the CMEMS product in the new DT2021 processing version better solves the signal in the coastal band. The all satellites dataset showed a reduction of 3% in errors when compared with tide gauges and of 5% in the variance of the differences between the datasets compared to DT2018 reprocessing. Moreover, the all satellites dataset provided more accurate sea level measurements when comparing with tide gauges respect to the climatic two satellites dataset due to the better performance of the former for the assessment of higher than climatic frequency signals. On the contrary, the two satellite dataset is the most suitable product for the assessment of long-term sea level SSH trends in the coastal zone due to its larger stability to the detriment of the all satellites dataset.

1 Introduction

On December 2021, more than 29 years of Level 3 (L3) and Level 4 (L4) altimetry products were reprocessed, released and made freely available for users as the “DT2021” version (CMEMS-SL-QUID, 2022; C3S-PUG, 2022; Faugère et al., 2022) of the multi-satellite Data Unification and Altimeter Combination System (DUACS) products by the European Copernicus Program (<http://marine.copernicus.eu/>) substituting the former “DT2018” product version (Taburet et al., 2019) which is no longer available in the Copernicus Catalogue. Currently, two types of altimetric L4 gridded products generated by the DUACS production system are available: the so called all satellites global and regional (European Seas) gridded products disseminated via the Copernicus Marine Service (CMEMS) project (CMEMS-SL-QUID, 2022); and the two satellites global gridded products distributed via the Copernicus Climate Change Service (C3S) project (C3S-PUG, 2022). Currently, the two satellites products are also distributed via the CMEMS project. The all satellites products are dedicated to the retrieval of mesoscale signals on a global or regional scale whereas the two satellites ones are dedicated to monitoring the long-term evolution of sea level, thus being suitable for using in climate applications (Taburet et al., 2019).

The Level 2 altimeter standards used to compute sea level anomaly (SLA) in the CMEMS and C3S products are identical (CMEMS-SL-QUID, 2022), but the reference used to compute SLAs differs: CMEMS products use a mean profile of sea surface heights along the theoretical track of the satellites with a repetitive orbit, whilst C3S products use a mean sea surface (MSS) for all missions. In the latest release, new up-to-date standards have been applied and various geophysical correction parameters have

Con formato	...	[1]
Con formato	...	[2]
Con formato	...	[3]
Con formato	...	[4]
Con formato	...	[5]
Con formato	...	[6]
Con formato	...	[7]
Con formato	...	[8]
Con formato	...	[9]
Con formato	...	[10]
Eliminado: were		
Con formato	...	[11]
Con formato	...	[12]
Con formato	...	[13]
Con formato	...	[14]
Con formato	...	[15]
Eliminado: .		
Eliminado:		
Con formato	...	[16]
Con formato	...	[17]
Con formato	...	[18]
Con formato	...	[19]
Con formato	...	[20]
Con formato	...	[21]
Con formato	...	[22]
Con formato	...	[23]
Con formato	...	[24]
Eliminado: opposite		
Con formato	...	[25]
Eliminado: we found		
Con formato	...	[26]
Con formato	...	[27]
Con formato	...	[28]
Eliminado:		
Con formato	...	[29]
Eliminado: time series		
Con formato	...	[30]
Con formato	...	[31]
Con formato	...	[32]
Eliminado:		
Con formato	...	[33]
Con formato	...	[34]
Con formato	...	[35]
Eliminado:		
Con formato	...	[36]
Con formato	...	[37]
Con formato	...	[38]
Con formato	...	[39]
Eliminado:		
Con formato	...	[40]
Eliminado:		
Eliminado:		

been updated compared to the previous DT2018 version (Table A1 in Appendix A). This provides both an improved accuracy of SLA and lower regional sea level biases.

Eliminado: .

Namely, (i) a **new internal tide correction** that allows the prediction of the two main tidal constituents of both diurnal and semidiurnal tidal frequencies has been applied. The solution proposed by Zaron (2019) is used (HRET 8.1 version). This correction reduces the coherent signal characteristic of internal tide and provides a more precise reconstruction of mesoscale eddies. The use of the internal tide correction induces a reduction of internal tide signature on along-track data improving the precision of the resulting L4 gridded product (CMEMS-SL-QUID, 2022).

(ii) a **new MSS** for non-repetitive missions and recent missions consisting in a hybrid gridded MSS field made up of three different gridded MSS models is used. Namely, SIO MSS model (Sandwell et al., 2017) is used in open ocean, CNES CLS-2015 model (Pujol et al., 2018) is used in coastal areas (distance to the coast lower than 20 km) and DTU15 model (Andersen et al. 2016) is used in the Arctic region (latitude larger than 80 northern degrees). This hybrid solution contributes to reduce the SLA errors at short wavelengths. A **new mean profile (precise MSS along the altimeter tracks)** is used for historical repetitive missions (CMEMS products). New mean profiles were estimated along the historical repetitive tracks of Topex/Poseidon/Jason, Topex/Poseidon/Jason-interleaved phase, ERS/Envisat/AltiKa, Sentinel-3A and GFO in consistency with the different standards used in DT2021 version. This improves the SLA signal at long wavelengths.

(iii) a **new Mean Dynamic Topography** for the Global (Mulet et al., 2021), and the Mediterranean and Black Seas is applied (Jousset et al., 2020,2022).

Eliminado: ;

Eliminado: are

(iv) an **improved Long Wavelength Error (LWE) correction, delivered in L3 product,** has been computed as the final step of multi-mission cross-calibration processing. Progress with respect to the previous version has been done by first estimating the LWE correction with higher frequency along the different tracks (100 Km instead of 500 km used previously), then by improving the interpolation methodology (Optimal Interpolation instead of Spline used previously) to retrieve the correction on each along-track position. It is expected to remove local SLA residual biases between neighbouring altimeter tracks.

Eliminado: to

(v) and finally, the DT2021 products version includes an **upgraded mapping parameterisation** that contributes to improve the mesoscale signal visible on L4 products. Namely, the spatial and temporal correlation scales are optimised improving the reconstruction of the mesoscale signal, a more precise definition of the observation's errors computed with regard to the new altimeter standards is provided, and finally, a more precise estimation and correction of LWE in the mapping process is applied removing local SLA residual biases. A complete description of the different evolutions implemented in the DUACS DT2021 products version can be found in CMEMS-SL-QUID (2022).

The validation (quality check) of altimetry products is a key step in the data processing pipe to assess and characterise the errors associated with the altimetry measurements. This issue is crucial in the coastal zone, where traditional altimetry have been often unable to produce meaningful signals of sea level change due to the typically shallower water, bathymetric gradients, and shoreline shapes, among others (Vignudelli et al., 2019; Sánchez-Román et al., 2020). Actually, global and regional products from DT2021 and DT2018 reprocessings are not optimised for the coastal band promoting larger errors in the retrieval of sea level with regard to the open ocean.

Eliminado: †

Nevertheless, the monitoring of sea level changes in coastal areas is an important societal issue (Pujol et al., 2023). Thus, most of the efforts of the international community in the recent past have been focused on the research and development of techniques for coastal altimetry, with substantial support from space agencies such as the European Space Agency (ESA), the Centre National d'Études Spatiales (CNES), and other research institutions (Cipollini et al., 2017). Efforts of the coastal altimetry community are aimed at extending the capabilities of current altimeters closer to the coastal zone. This includes the application of improved geophysical corrections, data recovery strategies near the coast using new editing criteria, and high-frequency along-track sampling associated with updated quality control procedures (Vignudelli et al., 2019). As a result, regional altimeter products such as PISTACH (Mercier et al., 2010), X-TRACK (Roblou et al., 2011; Birol et al., 2017); X-TRACK-ALES (Birol et al., 2021) and ESA EO4SIBS

(Grégoire, 2021) focused on the coastal zone have been developed over the last few years (Pujol et al., 2023). These products are disseminated to both the international scientific community and society through regular specific coastal altimetry workshops.

Different metrics are used to assess the quality of altimetry data. They mainly consist in the analysis of the SLA field at different steps of the processing; check consistency of the SLA along the tracks of different altimeters and between gridded and along-track products; and comparisons with external in situ measurements (CMEMS-SL-QUID, 2022). In situ and altimetric observations are complementary and are often assumed to observe the same signals (Wöppelmann and Marcos, 2016). In coastal areas, tide gauge measurements are commonly used. In Taburet et al. (2019), DUACS DT2018 L4 global gridded products were assessed in the coastal areas through a comparison with monthly tide gauge measurements from the Permanent Service for Mean Sea Level (PSMSL) Network (PSMSL, 2016). These authors reported a global reduction of 0.6% in variance with respect to the previous processing (DUACS DT2014 dataset). Pascual et al. (2006, 2009) investigated the consistency between previous versions of the altimeter L4 gridded products and tide gauge data from the PSMSL repository in the coastal zone reporting mean square differences between the two datasets ranging between 30% and 90% in the European coasts. More recently, Sánchez-Román et al. (2020) assessed the quality of DUACS L3 products in the coastal band of the European Seas through comparison with independent tide gauge measurements. These authors reported a mean root mean square (rms) difference between both datasets lower than 7 cm for the whole region, with mean values ranging around less than 4 cm in the Mediterranean basin and around 10 cm for the North West European Shelf (NWS) area (see Fig. 2 in Sánchez-Román et al., 2020 for the location of this region). The quality of the DUACS DT2021 product version has been also assessed through the comparison with monthly tide gauge measurements from the Global Sea Level Observing System (GLOSS)/Climate Variability and Predictability (CLIVAR) network. CMEMS-SL-QUID (2022) reports improved results when using the latest reprocessing with a reduction in variance of the differences between altimetry and tide gauges ranging between 0.2% and more than 5% of the tide gauge signal in the European coasts; with respect to the previous product version.

This paper focuses on improvements of the latest reprocessing of DUACS Delayed Time (DT) reanalysis (referred hereinafter as DT2021) in the retrieval of sea level in the coastal band of the European Seas with respect to the previously available reprocessed products (referred hereafter as DT2018). To do that, an intercomparison of L4 global altimetry gridded products and in situ tide gauges located along the European coasts from the Copernicus Catalogue is conducted. The performance of the DT2021 processing all satellites and two satellites versions on the sea level retrieval is also assessed. The paper is organized as follows: the SLA data used, the tide gauge dataset, and the method for comparing altimeter and in situ measurements are detailed in section 2. Section 3 describes the performance of the DT2021 processing product version in the retrieval of sea level in the coastal band. Also, the improvements over the previous DT2018 processing product version is assessed. Finally, the discussion and main conclusions are included in section 4.

2 Materials and methods

2.1 Sea level anomaly data

The DUACS reprocessed L4 global satellite SLA maps used in this study correspond to both the DT2021 (CMEMS-SL-QUID, 2022; C3S-PUG, 2022; Faugère et al., 2022) and DT2018 product (Taburet et al., 2019) versions. SLA gridded products cover the global ocean with a spatial and temporal resolution of $\frac{1}{4}$ of a degree and 1 day, respectively. Two different SLA datasets for each one of the DUACS product versions are considered: the all satellites L4 global gridded product disseminated via the CMEMS and the two satellites L4 global gridded product distributed via the C3S and CMEMS. The first one is computed with a satellite constellation including all the available altimeters at a given time (ranging from 2 to 7 over the period considered in this study, see e.g. Fig. 1 in Coastal Altimetry Team, 2021; Morrow et al., 2023). As a consequence, the errors are not constant in time since they depend on the number of

Con formato: Color de fuente: Texto 1, Inglés (americano)

Con formato: Color de fuente: Texto 1, Inglés (americano)

Eliminado:

Con formato: Color de fuente: Texto 1, Inglés (americano)

Con formato: Color de fuente: Texto 1, Inglés (americano)

Eliminado: we conduct

Con formato: Color de fuente: Texto 1, Inglés (americano)

Con formato: Color de fuente: Texto 1, Inglés (americano)

Con formato: Color de fuente: Texto 1, Inglés (americano)

Eliminado: respectively

Con formato: Color de fuente: Texto 1, Inglés (americano)

Con formato: Color de fuente: Texto 1, Inglés (americano)

Con formato: Color de fuente: Texto 1, Inglés (americano)

Con formato: Color de fuente: Texto 1, Inglés (americano)

Eliminado: We used t

Con formato: Color de fuente: Texto 1, Inglés (americano)

Con formato: Color de fuente: Texto 1, Inglés (americano)

Con formato: Color de fuente: Texto 1, Inglés (americano)

Con formato: Color de fuente: Texto 1

Con formato: Color de fuente: Texto 1, Inglés (americano)

Eliminado:

Con formato: Color de fuente: Texto 1, Inglés (americano)

Con formato: Color de fuente: Texto 1

Con formato: Color de fuente: Texto 1, Inglés (americano)

satellites used. This product focuses on the mesoscale mapping capacity of the altimeter data together with the stability of the overall dataset. The *two satellites* SLA dataset is obtained by merging a steady number of altimeters (two) in the satellite constellation. Two satellites is the minimum requirement to retrieve mesoscale signals in delayed time conditions. (Pascual et al., 2006; Dibarboure et al., 2011). This fact also promotes nearly consistent errors during the whole time period (some variation of the error can occur related to changes of the *two satellites* constellation). This product focuses on the stability of the global mean sea level (MSL), even if this implies potential reduction of the spatial sampling of the ocean. The reader is referred to Fig. 1 in Sánchez-Román et al. (2020) for more information about the DUACS procedure flowchart applied to the altimetry data and also to the processing of the tide gauge data used to compare with altimetry (next section). The time period investigated common to both DT2021 and DT2018 reprocessings spans from 1 January 1993 to 31 May 2020 due to the presently availability of DUACS DT2018 products. A complete description of the SLA datasets can be found in CMEMS-SL-QUID (2022).

2.2 Tide gauge observations

The sea level records used to compare with satellite altimetry were extracted from the Copernicus Catalogue (www.marineinsitu.eu). The tide gauge stations located in the European Seas' domain were initially considered for this study. Following the methodology described in Sánchez-Román et al. (2020), the quality flags of the tide gauge records were checked in order to remove observations with no quality check, potentially and bad data, and changes in the vertical reference of the tide gauge. Also, observations with values larger than three times the standard deviation of the time series were rejected as they could not be representative of ocean sea level changes but local features (e.g., river discharge, Laiz et al., 2013). The final dataset consists of 213 tide gauge stations (Fig. 1) with time series exhibiting between 90% and 100% of valid data. The stations and their information are listed in Table B.1 in Appendix B.

Before they can be compared with altimeter data, tide gauge measurements have to be processed to remove oceanographic signals whose temporal periods are not resolved by altimetry, thus avoiding important aliasing errors (Vignudelli et al., 2019). We applied the methodology described in Sánchez-Román et al. (2020). In the following we summarise the corrections applied to the tide gauge records:

- **Correction of oceanic tidal effects** by filtering tidal components (mainly diurnal and semidiurnal tidal constituents). The u-tide software (Codiga, 2011) is used. The annual and semiannual frequencies, mainly driven by steric effect, are kept in the tidal residuals since they are included in the altimetry data.
- **Removal of the atmospherically induced sea level** caused by the action of atmospheric pressure and wind (Dorandeu and Le Traon, 1999; Carrère and Lyard, 2003). The same Dynamic Atmospheric Correction (DAC) as for altimetry is applied for the sake of consistency. The 6 hourly fields of this correction, available at the Archiving, Validation and Interpretation of Satellite Oceanographic Data (AVISO) website, are used. For each tide gauge site, the nearest grid point was selected and used to remove the atmospherically induced sea level from observations, previously converted into 6 hourly records (Marcos et al., 2015).
- **Correction of vertical movements** associated with glacial isostatic adjustment (GIA). GIA was considered as the only source of vertical land motions. Its effects were removed from the SSH records, previously averaged into daily data, by using the Peltier mantle viscosity model (VM2) (Peltier, 1998, 2004).

2.3 Method for comparing altimeter and in situ tide gauge records

The comparison method of altimetry with tide gauges consisted of collocating both datasets in time and space. As a first step, a 15-day low-pass Loess filter was applied to altimetry and tide gauge time series to remove the high frequencies that cannot be resolved by the altimetric data (Pascual et al., 2009; Ballarotta et al., 2019; Sánchez-Román et al., 2020). Then, the correlations between each tide gauge

Eliminado: ;	
Con formato	... [41]
Con formato	... [42]
Con formato	... [43]
Con formato	... [44]
Eliminado: ;	
Con formato	... [46]
Con formato	... [47]
Eliminado: ;	
Con formato	... [45]
Con formato	... [48]
Con formato	... [49]
Eliminado: .	
Con formato	... [50]
Eliminado: A	
Con formato	... [52]
Eliminado: the	
Con formato	... [53]
Con formato	... [54]
Eliminado: A	
Con formato	... [51]
Con formato	... [55]
Eliminado:	
Con formato	... [56]
Con formato	... [57]
Eliminado: e	
Con formato	... [58]
Con formato	... [59]
Eliminado: We used t	
Con formato	... [60]
Eliminado:	
Con formato	... [61]
Con formato	... [62]
Eliminado:	
Con formato	... [63]
Eliminado: We used t	
Con formato	... [64]
Con formato	... [65]
Con formato	... [66]
Con formato	... [67]
Eliminado: We	
Con formato	... [68]
Eliminado: GIA	
Con formato	... [69]
Con formato	... [70]
Eliminado: We removed i	
Con formato	... [71]
Con formato	... [72]
Con formato	... [73]
Con formato	... [74]
Con formato	... [75]
Eliminado:	
Con formato	... [76]
Con formato	... [77]
Eliminado:	
Con formato	... [78]
Eliminado: we computed	
Con formato	... [79]

record and SLA time series corresponding to grid points within a radius of 1 degree around the tide gauge site, **were computed** and the most correlated altimetry point **was chosen**. Only long-term monitoring stations with a lifetime of more than three years **were used** in order to allow statistical significance. Statistical analyses were performed using all available data pairs (altimetry-tide gauge). The collocated altimeter and tide gauge measurements were analysed in terms of the rms difference and variance of the time series. In addition, the robustness of the results was investigated according to Sánchez-Román et al. (2017, 2020) using a bootstrap method (Efron and Tibshirani, 1986), which allows us to estimate quantities related to a dataset by averaging estimates from multiple data samples. To do that, the dataset is iteratively resampled with replacement. A total of 1.000 iterations were used to ensure that meaningful statistics such as standard deviation could be calculated on the sample of estimated values, thus allowing us to assign measures of accuracy to sample estimates (Sánchez-Román et al., 2020).

3 Results

3.1 Performance of DUACS DT2021 products in the retrieval of sea level in the coastal band

This section presents the statistics of the comparisons performed between the DUACS DT2021 *all satellites* and *two satellites* datasets and the tide gauge observations from the Copernicus catalogue in the coastal region of the European Seas in terms of errors (rms differences) and variance of the differences between the datasets. According to Sánchez-Román et al. (2020), the bootstrapping technique was applied to gain an estimation of the standard errors of the differences between the datasets.

The mean value of the rms difference between the *all satellites* dataset and tide gauges is 4.11 cm, the variance of the differences (altimetry-tide gauge) is 17 cm², and the mean distance between the location of the tide gauge and the corresponding altimeter data with the highest correlation is 82 km (Table 1). These values raise to 4.35 cm, 19 cm², and 87 km, respectively, when using the *two satellites* dataset. The tide gauge stations (213 stations) common to both datasets were used. Thus, the *all satellites* dataset reduces the rms differences with tide gauges in the European coasts by 5%, the variance differences between the datasets by 10%, and the mean distance between the most correlated altimetry point and tide gauges by 6%. Also, the number of valid data pairs used to conduct the intercomparison enhanced by 0.2% when using the *all satellites* dataset. This is due to the larger number of satellite missions used to generate this dataset, that provides lower errors in the optimal interpolation procedure compared to the *two satellites* dataset.

Table 1. Intercomparison of DUACS DT2021 satellite altimetry (ALT) and tide gauge (TG) data from the European coasts in terms of the rms differences (cm) and variance (cm²) of the differences between the datasets. The number of tide gauge stations used in the comparison, the mean distance between tide gauges and the most correlated gridded altimetry points, and the number of total data pairs (altimetry-tide gauge) used in the computation are displayed. The common tide gauge stations for the *all satellites* and *two satellites* datasets were used. Values in parenthesis show the uncertainties (error bars) computed for the rms differences and variance from the bootstrap method using 1.000 iterations. Finally, the improvement (%) of the *all satellites* dataset in comparison with tide gauges in terms of lower rms differences, lower variance of the differences (altimetry-tide gauge), and lower mean distance between the most correlated altimetry point and tide gauges with respect to the *two satellites* dataset is also displayed.

DUACS DT2021	<i>all satellites</i> dataset	<i>two satellites</i> dataset	<i>all satellites</i> improvement
rms diff. (cm)	4.11 (0.01)	4.35 (0.01)	5 %
var TG (cm ²)		89 (1)	
var ALT (cm ²)	81 (1)	79 (1)	
var TG-ALT (cm ²)	17 (1)	19 (1)	10 %
data pairs	1.163.588	1.161.315	0.2 %
stations		213	
Distance TG (km)	82	87	6 %

Con formato: Color de fuente: Texto 1, Inglés (americano)

Eliminado: We used o

Con formato: Color de fuente: Texto 1, Inglés (americano)

Eliminado: choose

Con formato: Color de fuente: Texto 1, Inglés (americano)

Con formato: Color de fuente: Texto 1, Inglés (americano)

Con formato: Color de fuente: Texto 1, Inglés (americano)

Eliminado:

Con formato: Color de fuente: Texto 1, Inglés (americano)

Con formato: Color de fuente: Texto 1, Inglés (americano)

Con formato: Color de fuente: Texto 1, Inglés (americano)

Con formato: Color de fuente: Texto 1, Inglés (americano)

Con formato: Color de fuente: Texto 1, Inglés (americano)

Con formato: Color de fuente: Texto 1, Inglés (americano)

Eliminado:

Con formato: Color de fuente: Texto 1, Inglés (americano)

Eliminado: ;

Con formato: Color de fuente: Texto 1, Inglés (americano)

Con formato: Color de fuente: Texto 1, Inglés (americano)

Eliminado: ;

Con formato: Color de fuente: Texto 1, Inglés (americano)

Con formato: Color de fuente: Texto 1, Inglés (americano)

Eliminado: ;

Con formato: Color de fuente: Texto 1, Inglés (americano)

Con formato: Color de fuente: Texto 1, Inglés (americano)

Eliminado: ;

Con formato: Color de fuente: Texto 1, Inglés (americano)

Con formato: Color de fuente: Texto 1, Inglés (americano)

Eliminado: . T

Con formato: Color de fuente: Texto 1, Inglés (americano)

Eliminado: is reduced

Con formato: Color de fuente: Texto 1, Inglés (americano)

Con formato: Color de fuente: Texto 1

Con formato: Color de fuente: Texto 1

Con formato: Izquierda

Con formato: Color de fuente: Texto 1

Con formato: Izquierda

Con formato: Color de fuente: Texto 1

Con formato: Izquierda

Con formato: Color de fuente: Texto 1

Con formato: Izquierda

Con formato: Color de fuente: Texto 1

Con formato: Izquierda

Con formato: Color de fuente: Texto 1

Con formato: Izquierda

Con formato: Color de fuente: Texto 1

Con formato: Izquierda

Fig. 1 shows the consistency between the DUACS DT2021 *all satellites* dataset and the tide gauge data computed from Eq. (1) in Sánchez-Román et al. (2020). Consistency is expressed as the mean square differences between both datasets, computed as the variance of the differences (altimetry–tide gauge), in terms of percentage of the tide gauge variance. Overall, mean square differences lower than 5 % are observed in the central and eastern parts of the Baltic Sea, emphasising the precision of the corrections applied to the altimeter data in the basin; whereas they reach values between 20% and 30% for stations located in the connection region with the North Atlantic Ocean. The mean square differences are between 20% and 50% for most of the stations located along the Atlantic shore, this including the Strait of Gibraltar area. Such large error could be related to imprecisions of the correction applied (i.e. ocean tide and DAC) to the altimeter data (Pascual et al., 2008; Laiz et al., 2016; Sánchez-Román et al., 2020), and also to both the larger spatiotemporal variability observed in this region (figure not shown), and to a larger non tidal variance with respect to that found in the Baltic Sea (Von Schuckmann et al., 2018). Finally, the Mediterranean and Norwegian Seas show mean square differences ranging between 15% and 30%, except for the Balearic Islands (western Mediterranean) and the southwestern part of Norway where values between 5% and 15% are obtained. The consistency between the DUACS DT2021 *two satellites* dataset and tide gauges (figure not shown) presents a quite similar spatial pattern and results. These outcomes improve the ones reported in Sánchez-Román et al. (2020) from the intercomparison conducted between Sentinel-3A L3 along track DUACS DT2018 dataset and tide gauge measurements in the region computed over a period of two and a half years.

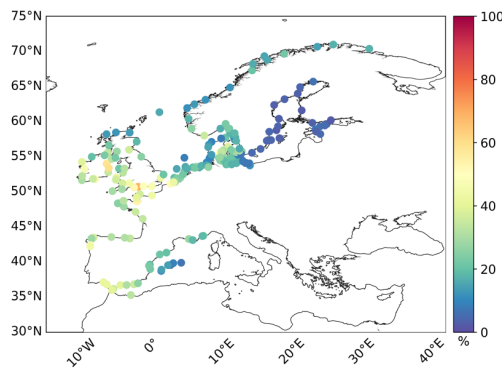


Figure 1. Location of the 213 tide gauges of the global product in the Copernicus catalogue along the European coasts and the western Mediterranean Sea used to compare with altimetry data after applying the selection criteria described in the text. Colours indicate the mean square differences between the tide gauge and altimetry sea level (DT2021 *all satellites* series). Units are the percentage of the tide gauge variance.

3.2 Improvement of DT2021 over DT2018 reprocessing

3.2.1 *all satellites* SLA dataset

This section focuses on the statistics of the comparisons performed between the DUACS DT2021 and DT2018 reprocessing *all satellites* datasets and the tide gauge observations. The mean value of the rms difference between the DT2018 processing dataset and tide gauges is 4.22 cm, the variance of the differences (altimetry–tide gauge) is 18 cm², and the mean distance between the location of the tide gauge and the corresponding altimeter data with the highest correlation is 88 km (Table 2).

Table 2. The same as Table 1 but for the intercomparison using the DUACS DT2018 reprocessing. The improvements (%) of the DUACS DT2021 reprocessing *all satellites* and *two satellites* SLA datasets with respect to the previous DT2018 reprocessing are also shown.

DUACS DT2018	<i>all satellites</i> dataset	<i>two satellites</i> dataset	<i>all satellites</i> DT2021 improvement	<i>two satellites</i> DT2021 improvement

- Con formato: Color de fuente: Texto 1
- Con formato: Justificado
- Con formato: Color de fuente: Texto 1, Inglés (americano)
- Eliminado: ¶ ... [80]
- Con formato: Color de fuente: Texto 1, Inglés (americano)
- Eliminado: this
- Con formato: Color de fuente: Texto 1, Inglés (americano)
- Con formato: Color de fuente: Texto 1, Inglés (americano)
- Eliminado: ;
- Con formato: Color de fuente: Texto 1, Inglés (americano)
- Con formato: Color de fuente: Texto 1, Inglés (americano)
- Con formato: Color de fuente: Texto 1, Inglés (americano)
- Eliminado: ;
- Con formato: Color de fuente: Texto 1, Inglés (americano)
- Con formato: Color de fuente: Texto 1, Inglés (americano)
- Con formato: Color de fuente: Texto 1, Inglés (americano)
- Con formato: Color de fuente: Texto 1, Inglés (americano)
- Con formato: Color de fuente: Texto 1, Inglés (americano)
- Eliminado: ¶
- Con formato: Color de fuente: Texto 1
- Con formato: Color de fuente: Texto 1

- Con formato: Color de fuente: Texto 1, Inglés (americano)
- Con formato: Justificado

- Con formato: Fuente: Cursiva, Color de fuente: Texto 1, Inglés (americano)
- Con formato: Color de fuente: Texto 1, Inglés (americano)
- Eliminado: ;
- Con formato: Color de fuente: Texto 1, Inglés (americano)
- Con formato: Color de fuente: Texto 1, Inglés (americano)
- Eliminado: ;
- Con formato: Color de fuente: Texto 1, Inglés (americano)
- Con formato: Color de fuente: Texto 1, Inglés (americano)
- Eliminado: ;
- Con formato: Color de fuente: Texto 1, Inglés (americano)
- Con formato: Color de fuente: Texto 1

rms diff. (cm)	4,22 (0,01)	4,41 (0,01)	3 %	1 %
var TG (cm ²)	89 (1)			
var ALT (cm ²)	80 (1)	78 (1)		
var TG-ALT (cm ²)	18 (1)	19 (1)	5 %	no improvement
data pairs	1.162.231	1.161.349	0,1 %	no improvement
stations	213			
Distance TG (km)	88	90	7 %	3 %

Overall, these values are larger than those reported in the previous section for the comparison using the DT2021 processing dataset (see Table 1). As a consequence, the DT2021 *all satellites* dataset reduces (i) the errors with tide gauges in the European coasts by 3%, (ii) the variance of the differences between the datasets by 5%, and (iii) the mean distance between the most correlated altimetry point and tide gauges by 7%. Also, the number of valid data pairs used to conduct the intercomparison is enhanced by 0.1% when using the DT2021 processing *all satellites* dataset. This highlights the impact of the new DUACS DT2021 reprocessing on the coastal areas, that provides more valid measurements, located closer to the tide gauge sites, compared to DT2018 reprocessing.

The new standards and updated geophysical corrections applied to the DUACS DT2021 reprocessing compared to the previous DT2018 version have a direct impact on the observation of coastal ocean sea level in the gridded products. To characterise this impact, the difference between DT2021 and DT2018 consistency is shown in Fig. 2. The spatial distribution of the differences in consistency shows an overall better performance of the DT2021 reprocessing (blue colours) at the connection region between the Baltic Sea and the eastern North Atlantic Ocean and in most of the Atlantic shore, where an improvement larger than 15% is found for some tide gauge sites. A degradation of the DT2021 reprocessing is observed in most of the stations located in the western Mediterranean Sea and the southern coasts of Spain, including the Strait of Gibraltar area, and also in some stations located in the coasts of France, England and Ireland. On the other hand, discrepancies are hardly observed between the two reprocessings in the Baltic and Norwegian Seas.

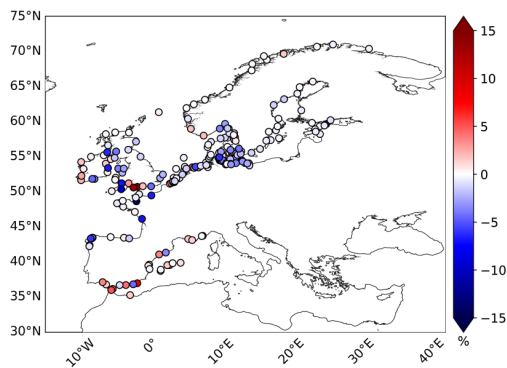


Figure 2. Spatial distribution of the differences (DT2021 minus DT2018) for the mean square differences between the tide gauge and altimetry sea level. Units are the percentage of the tidal variance. The SLA *all satellites* dataset has been used. Blue colours denote an improvement of the DUACS DT2021 reprocessing whilst red colours indicate its degradation with respect to the DT2018 reprocessing.

3.2.2 two satellites SLA dataset

We present here the statistics of the intercomparison between the climatic (two satellites) DT2021 and DT2018 processing and tide gauges. The mean value (Table 2) of the rms difference between the DT2018 processing dataset and tide gauges is 4.41 cm, the variance of the differences (altimetry–tide gauge) is 19 cm², and the mean distance between the location of the tide gauge and the corresponding altimeter data with the highest correlation is 90 km. If these results are compared with those reported above for the

- Con formato ... [81]
- Con formato ... [82]
- Con formato ... [83]
- Con formato ... [84]
- Con formato ... [85]
- Con formato ... [86]
- Con formato ... [87]
- Con formato ... [88]
- Con formato ... [89]
- Con formato ... [90]
- Con formato ... [91]
- Con formato ... [92]
- Con formato ... [93]
- Con formato ... [94]
- Con formato ... [95]
- Con formato ... [96]
- Con formato ... [97]
- Con formato ... [98]
- Con formato ... [99]
- Eliminado: s
- Con formato ... [100]
- Eliminado: ;
- Con formato ... [101]
- Con formato ... [102]
- Eliminado: We observe a
- Con formato ... [103]
- Con formato ... [104]
- Con formato ... [105]
- Eliminado: this
- Con formato ... [106]
- Eliminado: ;
- Con formato ... [107]
- Con formato ... [108]
- Con formato ... [109]
- Eliminado: we
- Con formato ... [110]
- Con formato ... [111]
- Eliminado: discrepancias
- Con formato ... [112]
- Con formato ... [113]
- Con formato ... [114]
- Con formato ... [115]
- Con formato ... [116]
- Con formato ... [117]
- Con formato ... [118]
- Con formato ... [119]
- Eliminado: ¶
- Con formato ... [120]
- Con formato ... [121]
- Eliminado: ;
- Con formato ... [122]
- Con formato ... [123]
- Eliminado: ;
- Con formato ... [124]
- Con formato ... [125]
- Eliminado: ;
- Con formato ... [126]
- Con formato ... [127]
- Eliminado: we compare
- Con formato ... [128]
- Con formato ... [129]
- Con formato ... [130]

comparison using the DT2021 processing dataset (Table 1), it can be observed that the latter only improves the previous DT2018 reprocessing in terms of the errors with tide gauges, that are reduced by 3%, and the mean distance between the most correlated altimetry point and tide gauges, reduced by 7%; whereas the variance of the differences between the datasets and the number of valid data pairs used to conduct the intercomparison are quite similar. Such improvements are around 60% lower than those reported for the *all satellites* datasets. This fact is reflected in the spatial distribution of the differences between DT2021 and DT2018 consistency with tide gauges (figure not shown). A better performance of the DT2021 reprocessing is obtained at the connection region between the Baltic Sea and the eastern North Atlantic Ocean and in part of the Atlantic shore (coasts of United Kingdom and France). There is a degradation of the DT2021 reprocessing in most of the stations located in the western Mediterranean Sea and the southern coasts of Spain; and in some stations located in the coasts of France, England and Ireland. Also, negligible discrepancies between the two reprocessings are found in the Baltic Sea. This spatial pattern is quite similar to that obtained for the *all satellites* dataset described above. However, a degradation of the DT2021 reprocessing is observed in most of the stations located in both the NWS region (southern coasts of the North Sea) and the Norwegian Sea. This is a novelty with respect to the previous computation emphasising the overall poorer improvements of the DUACS DT2021 *two satellites* dataset over the previous reprocessing.

3.2 Performance of DT2021 reprocessing in monitoring the long term evolution of sea level

The computation described above has been conducted by using all available information from the tide gauge dataset, thus including time series of different length spanning from few years to less than three decades (Table B1 of Appendix B). To assess the performance of DUACS DT2021 processing version in monitoring the long-term evolution of sea level in the coastal zone of the European Seas, the analyses described above, were repeated for a specific time period spanning 20 years: from 1 January 2000 to 31 December 2019. This time period has been chosen because of the largest number of available altimeter missions used to generate the *all satellites* SLA maps. Tide gauge time series with valid data within such time interval were considered; this allowing the intercomparison altimetry–tide gauges for long-term time series with the same length. Moreover, only tide gauge time series with at least 99% of valid data were used in order to allow the analysis of linear trends. This reduced the original tide gauge dataset to a subset of 27 stations (Tables B1, B2 of Appendix B) mainly located in the northern half of the Baltic Sea (70% of stations) with sparse stations distributed along the coasts of France and Spain (Fig. 3). This analysis has also been conducted for the DUACS DT2018 reprocessing for comparison purposes.

- Eliminado: we
- Con formato: Color de fuente: Texto 1, Inglés (americano)
- Con formato: Color de fuente: Texto 1, Inglés (americano)
- Con formato: Color de fuente: Texto 1, Inglés (americano)
- Con formato: Color de fuente: Texto 1, Inglés (americano)
- Con formato: Color de fuente: Texto 1, Inglés (americano)
- Eliminado: We obtain a
- Con formato: Color de fuente: Texto 1, Inglés (americano)
- Con formato: Color de fuente: Texto 1, Inglés (americano)
- Con formato: Color de fuente: Texto 1, Inglés (americano)
- Eliminado: ;
- Con formato: Color de fuente: Texto 1, Inglés (americano)
- Eliminado: we found
- Con formato: Color de fuente: Texto 1, Inglés (americano)
- Con formato: Color de fuente: Texto 1, Inglés (americano)
- Con formato: Color de fuente: Texto 1, Inglés (americano)

- Con formato: Color de fuente: Texto 1, Inglés (americano)
- Eliminado: A
- Con formato: Color de fuente: Texto 1, Inglés (americano)
- Con formato: Color de fuente: Texto 1, Inglés (americano)
- Eliminado: A
- Con formato: Color de fuente: Texto 1, Inglés (americano)
- Con formato: Color de fuente: Texto 1, Inglés (americano)
- Eliminado:
- Con formato: Color de fuente: Texto 1, Inglés (americano)
- Eliminado: we repeated
- Con formato: Color de fuente: Texto 1, Inglés (americano)
- Con formato: Color de fuente: Texto 1, Inglés (americano)
- Con formato: Color de fuente: Texto 1, Inglés (americano)
- Con formato: Color de fuente: Texto 1, Inglés (americano)
- Eliminado:
- Con formato: Color de fuente: Texto 1, Inglés (americano)
- Con formato: Color de fuente: Texto 1, Inglés (americano)
- Eliminado: A
- Con formato: Color de fuente: Texto 1, Inglés (americano)
- Con formato: Color de fuente: Texto 1, Inglés (americano)
- Eliminado: A
- Con formato: Color de fuente: Texto 1, Inglés (americano)
- Con formato: Color de fuente: Texto 1, Inglés (americano)
- Eliminado: A
- Con formato: Color de fuente: Texto 1, Inglés (americano)
- Con formato: Color de fuente: Texto 1, Inglés (americano)
- Eliminado: also
- Con formato: Color de fuente: Texto 1, Inglés (americano)

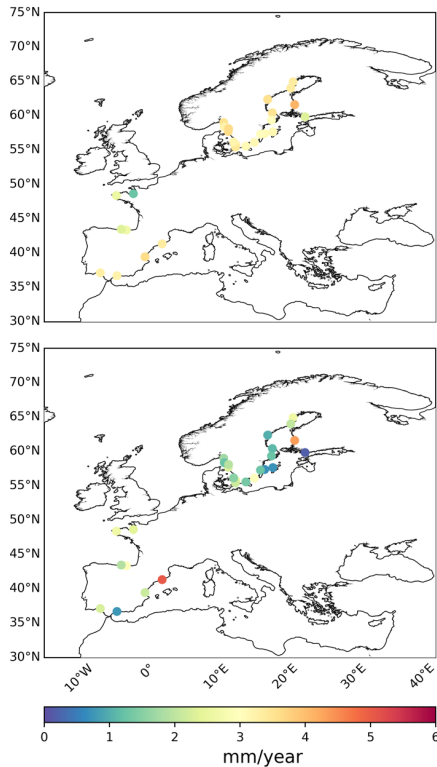


Figure 3. Spatial distribution of linear trends (mm year^{-1}) for altimetry (upper panel) and tide gauges (lower panel) computed from monthly averaged data for the 20 year time period spanning from 1 January 2000 to 31 December 2019. The *all satellites* dataset from the DUACS DT2021 reprocessing has been used.

Linear trends based on monthly observations at each tide gauge site (Fig. 3 and Table B2 of Appendix B) computed from DUACS DT2021 *all satellites* dataset (upper panel) show a homogeneous spatial pattern with overall values varying from 2.30 to 4.10 mm year^{-1} in the Baltic and Mediterranean Seas and between 2.30 and 3.30 mm year^{-1} in the sparse stations located along the North Atlantic European shore, except for the station of SaintMalo that presents a linear trend of 1.26 mm year^{-1} . Linear trends computed from tide gauges (lower panel) exhibit a more heterogeneous spatial pattern with values ranging between less than 1 mm year^{-1} for some stations located in the Baltic Sea, and 5.06 mm year^{-1} for the station of Barcelona (western Mediterranean Sea). However, most of the tide gauge stations present trend values ranging from 1.30 to 3 mm year^{-1} . These results provide further evidence, if needed, of the European Seas coastal sea level rise, including the westernmost part of the Mediterranean Sea. The differences in trends between the two datasets vary, in absolute values, between near 0 mm year^{-1} (Brest station, Atlantic French coast) to close to 2.60 mm year^{-1} found in the station of Spikarna (Baltic Sea).

Linear trends computed from DUACS DT2021 *two satellites* dataset (figure not shown) exhibit a quite similar spatial pattern with values ranging from 2.60 to 3.80 mm year^{-1} in the Baltic and Mediterranean Seas; and between 2.40 and 3.40 mm year^{-1} along the North Atlantic European coasts. However, some discrepancies between the two datasets are observed. These differences, computed as *all satellites* minus *two satellites* datasets, are displayed in Fig. 4. Overall larger linear trends (up to 1 mm year^{-1}) were obtained for the *all satellites* dataset in the northernmost and central Baltic Sea as well as in the stations

Con formato: Color de fuente: Texto 1

Con formato: Color de fuente: Texto 1

Con formato: Color de fuente: Texto 1, Inglés (americano)

Con formato: Justificado

Eliminado: A

Con formato: Color de fuente: Texto 1, Inglés (americano)

Con formato: Color de fuente: Texto 1, Inglés (americano)

Eliminado: A

Con formato: Color de fuente: Texto 1, Inglés (americano)

Con formato: Color de fuente: Texto 1, Inglés (americano)

Eliminado: ;

Con formato: Color de fuente: Texto 1, Inglés (americano)

Con formato: Color de fuente: Texto 1, Inglés (americano)

Eliminado: the rise in the coastal

Con formato: Color de fuente: Texto 1, Inglés (americano)

Eliminado: of the European Seas

Con formato: Color de fuente: Texto 1, Inglés (americano)

Eliminado: this

Con formato: Color de fuente: Texto 1, Inglés (americano)

Con formato: Color de fuente: Texto 1, Inglés (americano)

Con formato: Color de fuente: Texto 1, Inglés (americano)

Eliminado: We obtain o

Con formato: Color de fuente: Texto 1, Inglés (americano)

Con formato: Color de fuente: Texto 1, Inglés (americano)

Con formato: Color de fuente: Texto 1, Inglés (americano)

located in the Mediterranean Sea whilst lower values of the same magnitude are mainly observed at the entrance of the Baltic Sea and in most of the stations located along the North Atlantic European shore.

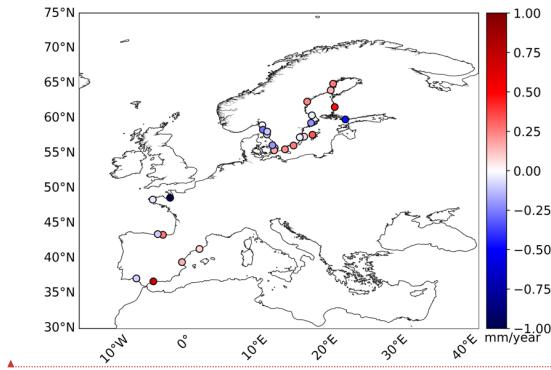


Figure 4. Spatial distribution of the differences (*all satellites* minus *two satellites* datasets) for the linear trends (mm year^{-1}) from altimetry computed from monthly averaged data for the 20 year time period spanning from 1 January 2000 to 31 December 2019. The DUACS DT2021 processing version has been used. Blue (red) colours denote lower (larger) trends for the *all satellites* dataset.

On the other hand, linear trends computed from the DT2018 reprocessing (figures not shown) exhibit a quite similar spatial pattern than that reported for the DT2021 processing version with overall values ranging from 2.20 (2.40) to 4.35 (3.60) mm year^{-1} in the Baltic and Mediterranean Seas and between 2.40 (2.10) and 3.05 (2.85) mm year^{-1} along the North Atlantic European coasts for the *all satellites* (*two satellites*) dataset. Thus, hardly any differences in range are observed between the *all satellites* dataset from the two reprocessing whereas these differences increase for the *two satellites* dataset with a lower variability observed for the DT2018 reprocessing. This fact has an impact on the spatial distribution of the differences between the two processing versions (Fig. 5).

Con formato: Color de fuente: Texto 1
 Con formato: Color de fuente: Texto 1

Con formato: Justificado
 Eliminado: o
 Con formato: Color de fuente: Texto 1, Inglés (americano)
 Con formato: Color de fuente: Texto 1, Inglés (americano)
 Con formato: Color de fuente: Texto 1, Inglés (americano)
 Con formato: Color de fuente: Texto 1, Inglés (americano)
 Eliminado: ;
 Con formato: Color de fuente: Texto 1, Inglés (americano)
 Con formato: Color de fuente: Texto 1, Inglés (americano)
 Con formato: Color de fuente: Texto 1, Inglés (americano)

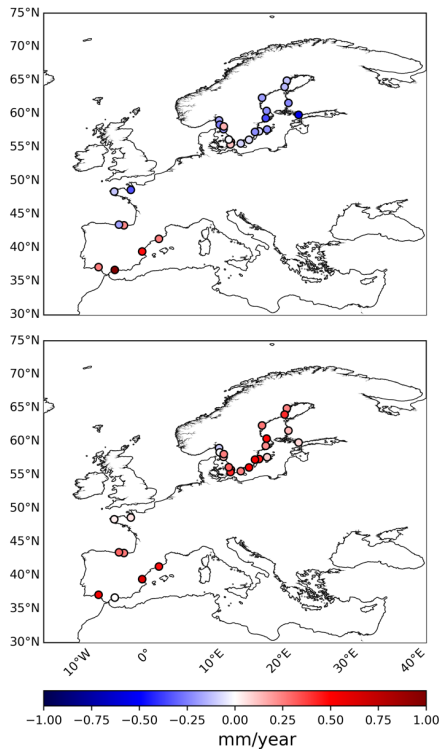


Figure 5. Spatial distribution of the differences (DT2021 minus DT2018 reprocessing) for linear trends (mm year^{-1}) for altimetry computed from the *all satellites* dataset (upper panel) and the *two satellites* dataset (lower panel). Monthly averaged data for the 20-year time period spanning from 1 January 2000 to 31 December 2019 has been used. Blue (red) colours denote lower (larger) trends for the DT2021 reprocessing.

For the *all satellites* dataset (upper panel in Fig. 5), two different spatial patterns were observed with lower trends for the DT2021 reprocessing in the Baltic Sea basin and most of the stations located along the North Atlantic European coasts; whereas larger values are obtained for the tide gauge stations located in the western Mediterranean Sea and some sparse stations at the entrance of the Baltic Sea. On the contrary, the spatial distribution of the differences between the two reprocessing for the *two satellites* dataset (lower panel in Fig. 5) depicts a homogeneous spatial pattern with overall larger trends for the DT2021 reprocessing except for the tide gauge station of Barseback located in the connection region between the Baltic Sea and the eastern North Atlantic Ocean (Table B2 in the Appendix B). Fig. 5 also reveals the differences between the two reprocessing, and for the two datasets, when comparing with linear trends from tide gauges: the *two satellites* dataset from the DT2021 processing version presents larger differences with tide gauges with respect to the DT2018 reprocessing in the whole domain, whilst this is only observed for sparse stations along the North Atlantic shore and the stations located in the Mediterranean Sea for the *all satellites* dataset. Thus, closer results were obtained from the DT2021 *all satellites* product with respect to the former DT2018 processing version in most of the Baltic Sea region and the stations located along the North Atlantic European coast.

Con formato: Color de fuente: Texto 1

Con formato: Color de fuente: Texto 1

Con formato: Color de fuente: Texto 1, Inglés (americano)

Con formato: Justificado

Con formato: Color de fuente: Texto 1, Inglés (americano)

Eliminado:

Con formato: Color de fuente: Texto 1, Inglés (americano)

Eliminado: we observe

Con formato: Color de fuente: Texto 1, Inglés (americano)

Con formato: Color de fuente: Texto 1, Inglés (americano)

Eliminado: ce

Con formato: Color de fuente: Texto 1, Inglés (americano)

Con formato: Color de fuente: Texto 1, Inglés (americano)

Con formato: Color de fuente: Texto 1, Inglés (americano)

Eliminado: n

Con formato: Color de fuente: Texto 1, Inglés (americano)

Con formato: Color de fuente: Texto 1, Inglés (americano)

Eliminado: A

Con formato: Color de fuente: Texto 1, Inglés (americano)

Con formato: Color de fuente: Texto 1, Inglés (americano)

Con formato: Color de fuente: Texto 1, Inglés (americano)

Eliminado: A

Con formato: Color de fuente: Texto 1, Inglés (americano)

Con formato: Color de fuente: Texto 1, Inglés (americano)

Eliminado: ;

Con formato: Color de fuente: Texto 1, Inglés (americano)

Eliminado: we obtain

Con formato: Color de fuente: Texto 1, Inglés (americano)

Con formato: Color de fuente: Texto 1, Inglés (americano)

Eliminado: between

Con formato: Color de fuente: Texto 1, Inglés (americano)

Con formato: Fuente: Cursiva, Color de fuente: Texto 1, Inglés (americano)

Con formato: Color de fuente: Texto 1, Inglés (americano)

Eliminado: reprocessing and tide gauges

Con formato: Color de fuente: Texto 1, Inglés (americano)

4 Discussion and conclusions

More than 29 years of DUACS Level 3 and Level 4 altimeter data have been recently reprocessed and delivered under the name of DT2021 processing version through the Copernicus Marine Service and the Copernicus Climate Change Service. The *all satellites* SLA products include all the available altimeter missions (ranging from 2 to 7 over the period considered in this study), which makes the errors not constant in time since they depend on the number of satellites used. Maps from the *all satellites* products provide the most accurate sea level estimation with the best spatial and temporal sampling of the ocean at all times. The *two satellites* SLA dataset is obtained by merging a steady number of altimeters (two) in the satellite constellation. This promotes consistent errors during the whole time period. Maps that include only two satellites are used to compute the most homogeneous and stable sea level record over time and space. Thus, *two satellites* products are dedicated to monitoring long term sea level evolution for climate applications and analysing ocean–climate indicators such as global and regional MSL evolution (Taburet et al., 2019).

The new standards applied to the DT2021 version and the update of various geophysical correction parameters compared to the previous release improved the *all satellites* product quality having a direct impact on the observation of coastal ocean sea level in the gridded products. To achieve independent comparisons, SLA from altimetry in the coastal zone of the European Seas were examined through comparison with in situ tide gauge measurements. Compared to the previous DT2018 version, an improvement in the *all satellites* dataset was obtained, with a reduction of 3% in errors when compared with tide gauges and of 5% in the variance of the differences between the datasets. The mean distance between the most correlated altimetry point and tide gauges reduced by 7%. Also, the number of valid data pairs used to conduct the intercomparison enhanced by 0.1% when using the DT2021 processing. This highlights the impact of the new DUACS DT2021 version on the coastal areas, that provides more valid measurements and located closer to the tide gauge sites, compared to DT2018 reprocessing. On the other hand, almost no improvement of the DT2021 *two satellites* dataset over the previous reprocessing was found when using all available information from the tide gauge dataset (time series of different length) in the computation; errors with tide gauges were reduced by 1%, and the mean distance between the most correlated altimetry point and tide gauges was reduced by 3%. The variance of the differences between the datasets and the number of valid data pairs used to conduct the intercomparison were quite similar among the DT2021 and DT2018 processing versions. These improvements were around 60% lower than those reported for the *all satellites* datasets. This fact could be explained by differences in the mapping parameters used for the two products: DT2021 mapping parameters (i.e. spatial and temporal correlation scales, a priori errors on the measurements) are evolved in CMEMS products (CMEMS QUID, 2022) with the objective to better retrieve mesoscale signals, whilst no evolution of the mapping parameter was implemented in C3S DT2021 product (C3S PUG, 2022).

The quality assessment of DUACS DT2021 reprocessing revealed a better performance of the *all satellites* products in the retrieval of SSH in the coastal zone with respect to the *two satellites* products for the time period investigated (27 years). Namely, a reduction of 5% in errors with tide gauges and 10% in variance difference between altimetry and tide gauges was obtained when using the *all satellites* dataset with respect to the *two satellites* product. This is because despite the larger stability of the *two satellites* dataset, this product is optimised for climatic signal when analysing low frequency signals (SSH trends). Thus, it is less performant for higher frequency signals. In this context (analysis of high frequency signals), the results reported here show that the *all satellites* dataset should be considered for the analysis of long time series of SSH in the coastal zone of the European Seas including all frequency signals. This can be clearly seen in Fig. 6 showing the differences (computed as *all satellites* minus *two satellites* datasets) for consistency between altimetry and tide gauges.

Eliminado: (all satellites dataset)	
Eliminado: (two satellites dataset)	
Eliminado: this	
Con formato	... [131]
Con formato	... [132]
Con formato	... [133]
Eliminado: ing	
Con formato	... [134]
Con formato	... [135]
Eliminado: Thus, m	
Con formato	... [136]
Eliminado: ;	
Con formato	... [137]
Con formato	... [138]
Con formato	... [139]
Con formato	... [140]
Eliminado: we obtained	
Con formato	... [141]
Con formato	... [142]
Con formato	... [143]
Con formato	... [144]
Eliminado: improvements (reduction) of all satellites dataset	[145]
Con formato	... [146]
Con formato	... [147]
Eliminado: ,	
Con formato	... [148]
Con formato	... [149]
Eliminado: we found an overall poorer	
Con formato	... [150]
Con formato	... [151]
Con formato	... [152]
Con formato	... [153]
Con formato	... [154]
Con formato	... [155]
Eliminado: a	
Con formato	... [156]
Con formato	... [157]
Con formato	... [158]
Con formato	... [159]
Eliminado: ;	
Con formato	... [160]
Con formato	... [161]
Eliminado: ;	
Con formato	... [162]
Eliminado: we obtained	
Con formato	... [163]
Con formato	... [164]
Con formato	... [165]
Con formato	... [166]
Eliminado: z	
Con formato	... [167]
Con formato	... [168]
Con formato	... [169]

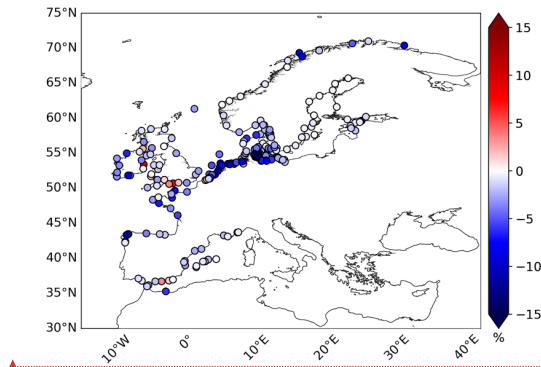


Figure 6. Spatial distribution of the differences (*all satellites* minus *two satellites* datasets) for the mean square differences between the tide gauge and altimetry sea level. Units are the percentage of the tidal variance. The DUACS DT2021 processing version has been used. Blue (red) colours denote an improvement (degradation) of the *all satellites* dataset.

An overall better performance (blue colours) of the *all satellites* product with respect to the *two satellites* one was observed in the whole domain except in the Baltic Sea and the westernmost part of the Norwegian Sea, where similar results are obtained. The improvement is larger in most of the Atlantic shore, namely at the connection region between the Baltic Sea and the eastern North Atlantic Ocean, the NWS region and the northern Norwegian Sea, with a reduction in the variance difference between the two datasets larger than 15%. The Mediterranean Sea and the Strait of Gibraltar area show closer values between the two products with an improvement lower than 5%. These improvements could be explained by the better sampling of high frequency signal in the coastal zone in *all satellites* dataset due to the large number of altimeters available to generate the SLA maps compared to the *two satellites* maps. Improved mapping parameters for mesoscale (and thus high frequency) processes could also contribute. There are also sparse stations showing a degradation of the *all satellites* product located in the coasts of United Kingdom and Spain. The observed degradation of the *all satellites* product with respect to the *two satellites* one at some tide gauge sites could be due to high-frequency local features badly captured by the *all satellites* product that translate in larger errors when comparing with tide gauges.

Linear trends based on monthly observations at each tide gauge site were computed to assess whether the DUACS DT2021 release can be representative of the local sea level along the European coasts and western Mediterranean Sea. To do that, sea level linear trends for the period 2000-2019 were computed from both the *all satellites* and *two satellites* datasets. The analysis was repeated for the DT2018 reprocessing to have a term of comparison. A homogeneous spatial pattern with overall values ranging from 2.30 (2.40) to 4.10 (3.80) mm year⁻¹ was obtained for the *all satellites* (*two satellites*) dataset from the DT2021 reprocessing. This promotes a mean trend for the whole domain of 3.14 (3.13) mm year⁻¹. These trends slightly differ from those computed from the tide gauge subset covering the 20 year time period, that show values ranging between less than 1 to 5.06 mm year⁻¹; the mean trend for the whole domain is 1.96 mm/year.

Thus, trends computed from DT2021 products are on average around 1.2 mm year⁻¹ larger than those obtained from tide gauges. Similar overestimations in altimetry mean trends were reported by Agha-Karimi et al. (2021) in the Baltic Sea for datasets covering the time period spanning between 1993 and 2020. These discrepancies could be attributed to the heterogeneous distribution of both datasets and also the crustal land uplift due to postglacial rebound resulting from the last glacial age affecting the Baltic Basin, where most of the tide gauge stations are located. This translates in altimetry conventional measurements being not accurate enough in the coastal zone. On the other hand, when using the former DUACS DT2018 processing version slightly larger discrepancies with tide gauges were obtained for the *all satellites* dataset, with a mean trend of 3.18 mm year⁻¹; whilst the *two satellites* product showed closer values to tide gauges with a mean linear trend of 2.85 mm year⁻¹.

- Con formato: Color de fuente: Texto 1
- Con formato: Color de fuente: Texto 1
- Con formato: Color de fuente: Texto 1
- Con formato: Justificado
- Con formato: Color de fuente: Texto 1, Inglés (americano)
- Eliminado: ¶
- Con formato: Color de fuente: Texto 1, Inglés (americano)
- Eliminado: We observe a
- Con formato: Color de fuente: Texto 1
- Con formato: Color de fuente: Texto 1, Inglés (americano)
- Con formato: Color de fuente: Texto 1, Inglés (americano)
- Con formato: Fuente: Cursiva, Color de fuente: Texto 1, Inglés (americano)
- Con formato: Color de fuente: Texto 1, Inglés (americano)
- Con formato: Color de fuente: Texto 1, Inglés (americano)
- Eliminado: ;
- Con formato: Color de fuente: Texto 1, Inglés (americano)
- Con formato: Color de fuente: Texto 1, Inglés (americano)
- Con formato: Color de fuente: Texto 1, Inglés (americano)
- Con formato: Color de fuente: Texto 1, Inglés (americano)
- Eliminado:
- Con formato: Color de fuente: Texto 1, Inglés (americano)
- Eliminado: There are also sparse stations showing a degradation of the *all satellites* product located in the coasts of United Kingdom and Spain.
- Con formato: Color de fuente: Texto 1, Inglés (americano)
- Eliminado: outcomes
- Con formato: Color de fuente: Texto 1, Inglés (americano)
- Con formato: Color de fuente: Texto 1, Inglés (americano)
- Con formato: Color de fuente: Texto 1, Inglés (americano)
- Con formato: Color de fuente: Texto 1, Inglés (americano)
- Con formato: Color de fuente: Texto 1, Inglés (americano)
- Eliminado: On the contrary, t
- Con formato: Color de fuente: Texto 1, Inglés (americano)
- Eliminado: we computed
- Con formato: Color de fuente: Texto 1
- Eliminado: We repeated t
- Eliminado: We obtained a
- Eliminado:
- Con formato: Color de fuente: Texto 1, Inglés (americano)
- Con formato: Color de fuente: Texto 1
- Eliminado: ing
- Con formato: Color de fuente: Texto 1, Inglés (americano)
- Con formato: Color de fuente: Texto 1
- Con formato: Color de fuente: Texto 1, Inglés (americano)
- Con formato: Color de fuente: Texto 1
- Con formato: Color de fuente: Texto 1, Inglés (americano)
- Eliminado: we obtained
- Con formato: Color de fuente: Texto 1, Inglés (americano)
- Con formato: Color de fuente: Texto 1, Inglés (americano)
- Con formato: Color de fuente: Texto 1, Inglés (americano)

Overall, linear trend differences (altimetry – tide gauge) for the DT2021 reprocessing varying, in absolute value, from 0.16 to 2.57 mm year⁻¹, in an average of 1.43 mm year⁻¹ were obtained for the all satellites dataset. They varied from 0.03 to 2.65 mm year⁻¹, in an average of 1.40 mm year⁻¹ for the two satellites dataset. These discrepancies are lower than 1.5 mm year⁻¹ in average and corroborate the agreement and complementarity of the two techniques to measure sea level variability in the coastal zone. They also emphasise a better performance of the C3S DT2021 dataset in the estimation of sea level linear trends in the coastal zone. This was also corroborated by the computation conducted for the DT2018 reprocessing: lower differences between tide gauge and altimetry trends computed from the two satellites dataset were obtained. Fig. 7 displays the spatial distribution of the differences in trend computed as altimetry minus tide gauges for the two satellites dataset from the DT2021 reprocessing. An overall overestimation of trends from altimetry in the whole domain was obtained. On the contrary, three tide gauge sites: Bilbao in the Atlantic Spanish coast, Pori at the eastern side of the Baltic Sea, and Barcelona in the western Mediterranean Sea (Table B2 in Appendix B) showed a long-term sea level linear trend 0.58, 0.70 and 1.81 mm year⁻¹ larger, respectively, than that found for the closest altimetry point with the largest correlation. The differences in trend could be attributed to the aforementioned reasons rendering altimetry measurements being not accurate enough in the coastal zone. In any case, the linear trends for the tide gauge of Barcelona described above are of the same order of magnitude than those reported by Taibi and Haddad (2019) computed for the time period spanning from 1993 to 2015 (linear trend of 2.74 mm year⁻¹ for altimetry; 6.73 mm year⁻¹ for the tide gauge; trend difference of 3.99 mm year⁻¹), thus supporting the results obtained here.

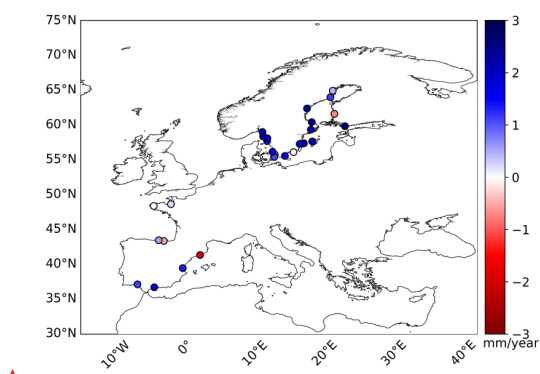


Figure 7. Spatial distribution of the differences in linear trends (mm year⁻¹) between the altimetry and tide gauge sea level computed for the 20 year time period spanning from 1 January 2000 to 31 December 2019. The two satellites dataset from the DUACS DT2021 reprocessing has been used. Blue (red) colours denote a larger (lower) altimetry linear trend.

The intercomparison conducted here between L4 gridded products from the new DUACS DT2021 release and the DT2018 version previously available; and tide gauges have demonstrated the better performance of the new DT2021 version in the retrieval of sea level in the coastal zone of the European Seas. Furthermore, the all satellites dataset provided more accurate sea level measurements when comparing with tide gauges respect to the climatic two satellites dataset due to the better performance of the former for the assessment of higher than climatic frequency signals. On the opposite, when analysing linear trends from 20-year long time series the two satellite dataset was the most suitable product for the assessment of long-term sea level SSH trends in the coastal zone due to its larger stability to the detriment of the CMEMS all satellites dataset.

SLA and derived geostrophic velocities from altimeter data have been widely compared with in situ multiplatform measurements by the coastal altimetry community in order to both validate altimetry measurements and demonstrate their capabilities to monitor sea level and surface currents in the coastal zone. Heslop et al (2017) provided the first multiplatform evaluation evolving data from the Sentinel-3A altimeter in the Balearic Sea (Western Mediterranean Sea). Their outcomes demonstrated the capacity of

- Eliminado: we obtained
- Con formato ... [171]
- Con formato ... [170]
- Con formato ... [172]
- Con formato ... [173]
- Con formato ... [174]
- Eliminado: t; and
- Con formato ... [175]
- Eliminado: low
- Con formato ... [176]
- Con formato ... [177]
- Eliminado:
- Con formato ... [178]
- Con formato ... [179]
- Eliminado: and
- Con formato ... [180]
- Con formato ... [181]
- Eliminado: we obtained
- Con formato ... [182]
- Con formato ... [183]
- Con formato ... [184]
- Con formato ... [185]
- Eliminado: We obtained a
- Con formato ... [186]
- Con formato ... [187]
- Con formato ... [188]
- Eliminado: we found
- Con formato ... [189]
- Con formato ... [190]
- Eliminado: ;
- Con formato ... [192]
- Eliminado: ;
- Con formato ... [191]
- Con formato ... [193]
- Con formato ... [194]
- Eliminado: A
- Con formato ... [195]
- Con formato ... [196]
- Eliminado: A
- Con formato ... [197]
- Con formato ... [198]
- Eliminado: ing
- Con formato ... [199]
- Con formato ... [200]
- Eliminado:
- Con formato ... [201]
- Con formato ... [202]
- Con formato ... [203]
- Con formato ... [204]
- Con formato ... [205]
- Con formato ... [206]
- Con formato ... [207]
- Con formato ... [208]
- Eliminado:
- Con formato ... [209]
- Con formato ... [210]
- Eliminado:
- Con formato ... [211]
- Eliminado: we found
- Con formato ... [212]
- Con formato ... [213]
- Con formato ... [214]
- Eliminado:
- Con formato ... [216]
- Con formato ... [217]
- Eliminado: time series
- Con formato ... [215]
- Con formato ... [213]

this satellite mission to retrieve fine-scale oceanographic features of around 20 km of diameter showing differences between along-track absolute dynamic topography (ADT) from altimetry and glider derived dynamic height (DH) data along the satellite track of 1.23 cm. In the same region, Aulicino et al. (2018) compared along-track ADT data from the SARAL-AltiKa mission with glider derived DH along two satellites tracks. They found a very similar spatial pattern with differences ranging between 1.10 and 2.90 cm. Pascual et al., (2015) also conducted an assessment of SARAL/AltiKa data in the coastal band through the comparison of along-track surface derived geostrophic velocities with surface velocities from a coastal high-frequency (HF) radar system installed in the Ibiza Channel (Balearic Sea). These authors found that the velocities derived from altimetry solved the general mesoscale features in the region with rms differences with the in situ measurements of 13 cm s⁻¹.

The new Surface Water and Ocean Topography (SWOT) satellite mission, launched in December 2022, is considered to be the next major breakthrough in satellite ocean observation (Morrow et al., 2023). The SWOT mission aims to provide SSH measurements in two dimensions along a wide-swath altimeter track with an expected effective resolution down to wavelengths of 15–30 km (Barceló-Llull et al., 2021). Thus, SWOT observations will fill the gap in our knowledge of the 15–150 km 2D SSH dynamics (Morrow et al., 2019) allowing, in some regions, the observation of the full range of mesoscale features. The assessment of their impact on the large scale ocean circulation and climate system will be one of the major challenges for the next decade.

Con formato: Color de fuente: Texto 1, Superíndice

Con formato: Color de fuente: Texto 1

Con formato: Fuente: (Predeterminada) +Cuerpo (Times New Roman), 12 pto, Color de fuente: Texto 1

Con formato: Justificado, Espacio Antes: 12 pto, Después: 12 pto, Punto de tabulación: 2,45 cm, Izquierda

Con formato: Color de fuente: Texto 1

Con formato: Fuente: (Predeterminada) +Cuerpo (Times New Roman), 12 pto, Color de fuente: Texto 1

Con formato: Color de fuente: Texto 1

Con formato: Fuente: (Predeterminada) +Cuerpo (Times New Roman), 12 pto, Color de fuente: Texto 1

Con formato: Color de fuente: Texto 1

Con formato: Fuente: (Predeterminada) +Cuerpo (Times New Roman), Color de fuente: Texto 1, Inglés (americano)

Con formato: Color de fuente: Texto 1

Con formato: Color de fuente: Texto 1

Con formato: Color de fuente: Texto 1

Con formato: Fuente: (Predeterminada) +Cuerpo (Times New Roman), 12 pto, Color de fuente: Texto 1, Inglés (americano)

Con formato: Color de fuente: Texto 1

Con formato: Fuente: (Predeterminada) +Cuerpo (Times New Roman), 12 pto, Color de fuente: Texto 1, Inglés (americano)

Con formato: Color de fuente: Texto 1

Con formato: Fuente: (Predeterminada) +Cuerpo (Times New Roman), 12 pto, Color de fuente: Texto 1, Inglés (americano)

Con formato: Color de fuente: Texto 1

Con formato: Fuente: (Predeterminada) +Cuerpo (Times New Roman), 12 pto, Color de fuente: Texto 1, Inglés (americano)

Con formato: Color de fuente: Texto 1

Con formato: Fuente: (Predeterminada) +Cuerpo (Times New Roman), Color de fuente: Texto 1, Inglés (americano)

Con formato: Color de fuente: Texto 1

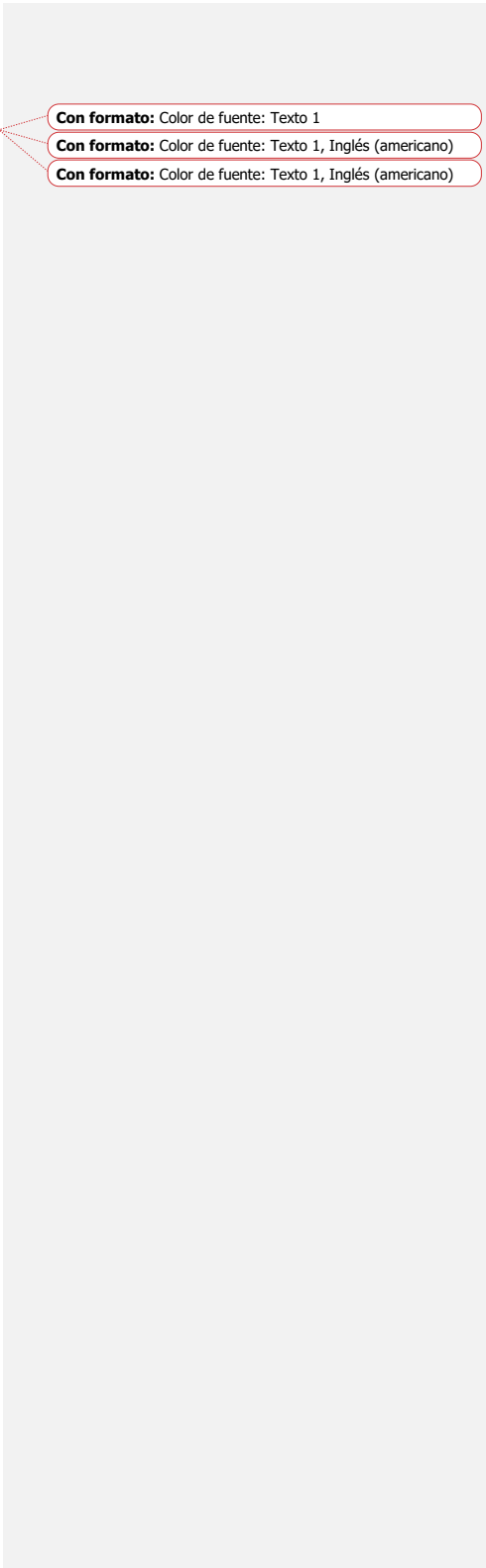
Eliminado:

Con formato: Color de fuente: Texto 1

Con formato: Color de fuente: Texto 1, Inglés (americano)

Con formato: Color de fuente: Texto 1

Con formato: Color de fuente: Texto 1, Inglés (americano)



Con formato: Color de fuente: Texto 1

Con formato: Color de fuente: Texto 1, Inglés (americano)

Con formato: Color de fuente: Texto 1, Inglés (americano)

Appendix A

Table A1. Altimeter standard used in DT2021 release. Changes with the DT2018 reprocessing are highlighted in bold format.

	TP	Jason 1	Jason 2	Jason 3	ERS-1	ERS-2	ENVISAT	SARAL	Sentinel 3A	Sentinel 3B	Geosat FO	Cryosat 2	HY 2A	HY-2
ORBIT	GSFC STD18	POE-E	POE-F		Reaper		POE-E	POE-F	POE-F		GSEF	POE-F	POE-D	POE-
IONOSPHERIC	Filtered dual-frequency altimeter range measurements (Ablain and Legeais, 2010); DORIS on Poseidon	Filtered dual-frequency altimeter range measurements (Ablain and Legeais, 2010) from SSB C-band)	Filtered dual-frequency altimeter range measurements (Ablain and Legeais, 2010)	Filtered dual-frequency altimeter range measurements (Ablain and Legeais, 2010)	Reaper NIC09 model (Scharroo and Smith, 2010)	GIM (Hijima et al., 1999)	Filtered from L2; $c>65$-GIM (Hijima et al., 1999) corrected from 8mm bias	GIM (Hijima et al., 1999)	Filtered from L2		GIM (Hijima et al., 1999)			GIM (Hijima et al., 1999)
SEA STATE BIAS	Non parametric (Tran et al., 2010) on Topex; BM4 on Poseidon	2D Non parametric (Tran, 2015)	Non parametric (Tran et al., 2012)	Non parametric (Tran et al., 2012)	BM3 (Gaspar and Ogor, 1994)	Non parametric (Mertz et al., 2005)	2D Non parametric (Tran, 2017)	Non parametric (Tran, 2019)	Non parametric (Tran, 2012)	Non parametric (Tran, 2010)	2D Non parametric (baseline C) (Tran, 2018) Baseline C	Non parametric (Tran, 2012)	Non parametric (Tran, 2012)	From product
WET TROPOSPHERE	GPD+ (Ferrandes et al., 2015)	JMR (GDRE) radiometer	AMR radiometer		GPD+ (Ferrandes et al., 2015)		MWR radiometer reprocessed	Neural Network (5 entries) V4	MWR 3 radiometer	GFO Radiometer and ECMWF model	GPD+ (Fernandes Lázaro, 2016)	ECMWF model	ECMWF model	ECMWF model
DRY TROPOSPHERE	ERA (1-hour) model based													
OCEAN TIDE	FES 2014 B (Carrere et al., 2016)													
POLE TIDE	(Desai et al., 2015); Mean Pole Location 2017 (Ries and Desai, 2017)													

SOLID TIDE	Elastic response to tidal potential (Cartwright and Taylor, 1971; Cartwright and Edden, 1973)													
INTERNAL TIDE	(Zaron, 2019) (HRETv8.1 tidal frequencies: M2, K1, S2, O1)													
MEAN DYNAMICAL TOPOGRAPHY	MDT CNES CLS 2018 (Mulet et al., 2021) merged with regional MDT CEMES 2020 Mediterranean and Black Sea (Iousset and Mulet, 2020; Iousset et al., 2022)													
	TP	Jason 1	Jason 2	Jason 3	ERS-1	ERS-2	ENVISAT	SARAL	Sentinel 3A	Sentinel 3B	Geosat FO	Cryosat 2	HY 2A	HY-2B
DYNAMICAL ATMOSPHERIC CORRECTION	TUGO High frequencies forced with analysed ERA 5 pressure and wind field + inverse barometer Low frequencies	after 02/2016 MOG2D HF forced with analysed ECMWF pressure and wind field + inverse barometer LF	TUGO HF forced with analysed ERA 5 pressure and wind field; and MOG2D HF forced with analysed ECMWF pressure and wind field (Carrère and Lyard, 2003) (operational version 3.2.0) + inverse barometer LF	TUGO High frequencies forced with analysed ERA 5 pressure and wind field + inverse barometer Low frequencies				TUGO HF forced with analysed ERA 5 pressure and wind field; and MOG2D HF forced with analysed ECMWF pressure and wind field + inverse barometer LF	MOG2D High frequencies forced with analysed ECMWF pressure and wind field (Carrère and Lyard, 2003) (operational version 3.2.0) + inverse barometer Low frequencies		TUGO High frequencies forced with analysed ERA 5 pressure and wind field + inverse barometer Low frequencies	TUGO High frequencies forced with analysed ERA 5 pressure and wind field; and after 02/2016 MOG2D High frequencies forced with analysed ECMWF pressure and wind field + inverse barometer Low frequencies		MOG2D High frequencies forced with analysed ECMWF pressure and wind field (Carrère and Lyard, 2003) (operational version 3.2.0) + inverse barometer Low frequencies
MEAN SEA SURFACE	Mean profile	Mean profile for repetitive orbit phases: Hybrid-MSS (SIO,CNES/CLS15,DTU15) for geodetic/LOR phase	Mean profile	Mean profile for repetitive orbit phases: Hybrid	Mean profile		Mean profile for repetitive orbit phases: Composite-MSS (SIO,CNES/CLS15,DTU15) for geodetic/drift phase	Mean profile	Hybrid MSS (SIO,CNES/CLS15,DTU15)		Hybrid-MSS (SIO,CNES/CLS15,DTU15)			

- Con formato: Color de fuente: Texto 1
- Con formato: Justificado
- Con formato: Color de fuente: Texto 1, Inglés (americano)
- Con formato: Color de fuente: Texto 1
- Con formato: Justificado
- Con formato: Color de fuente: Texto 1
- Con formato: Justificado
- Con formato: Color de fuente: Texto 1, Inglés (americano)
- Con formato: Color de fuente: Texto 1, Inglés (americano)
- Con formato: Justificado
- Con formato: Color de fuente: Texto 1, Inglés (americano)
- Con formato: Justificado
- Con formato: Color de fuente: Texto 1, Inglés (americano)
- Con formato: Color de fuente: Texto 1, Inglés (americano)
- Con formato: Justificado
- Con formato: Color de fuente: Texto 1, Inglés (americano)
- Con formato: Color de fuente: Texto 1, Inglés (americano)
- Con formato: Color de fuente: Texto 1, Inglés (americano)
- Con formato: Justificado
- Con formato: Color de fuente: Texto 1
- Con formato: Color de fuente: Texto 1, Inglés (americano)
- Con formato: Color de fuente: Texto 1, Inglés (americano)
- Con formato: Color de fuente: Texto 1, Inglés (americano)
- Con formato: Justificado
- Con formato: Color de fuente: Texto 1
- Con formato: Color de fuente: Texto 1
- Con formato: Color de fuente: Texto 1
- Con formato: Color de fuente: Texto 1

				<u>MSS</u> <u>(SIO,CNE</u> <u>S/CLS1</u> <u>5,DTU15)</u> <u>for</u> <u>geodetic</u> <u>phase</u>					
--	--	--	--	--	--	--	--	--	--

Con formato: Color de fuente: Texto 1

Con formato: Justificado

Appendix B

Table B1. List of the 213 tide gauge records with their location and time period analysed. Bold stations indicate the tide gauge sites from the subset covering the 20-year period spanning from January 2000 to December 2019 listed in Table B2.

	Station name	Lon (°E)	Lat (°N)	Period analysed		Station name	Lon (°E)	Lat (°N)	Period analysed
1	Bagenkop	10.68	54.75	11/2006 - 05/2020	52	Ratan	20.90	63.99	01/1993 - 05/2020
2	Bandholm	11.48	54.83	01/2014 - 05/2020	53	Ringhals	12.11	57.25	01/1993 - 05/2020
3	Barhoeft	13.03	54.44	01/2011 - 05/2020	54	Rodby	11.35	54.65	01/2005 - 05/2020
4	Barseback	12.9	55.76	01/1993 - 05/2020	55	Rodvig	12.37	55.25	01/1993 - 05/2020
5	Bogense	10.08	55.57	01/2014 - 05/2020	56	Rohukula	23.42	58.90	12/2009 - 12/2019
6	Dragor	12.68	55.60	07/2011 - 05/2020	57	Roskilde	12.08	55.65	12/2011 - 05/2020
7	Drogden	12.71	55.54	01/1993 - 05/2020	58	Rostock	12.15	54.08	01/2011 - 05/2020
8	Eckernfoerde	9.84	54.47	01/2011 - 05/2020	59	Simrishamn	14.36	55.56	01/1993 - 05/2020
9	Faaborg	10.25	55.10	01/2014 - 05/2020	60	Sjællands Odde	11.37	55.97	01/1993 - 05/2020
10	Forsmark	18.21	60.41	01/1993 - 05/2020	61	Skagen	10.59	57.72	04/1993 - 09/2018
11	Fredericia	9.75	55.57	01/2005 - 05/2020	62	Skagsudde	19.01	63.19	10/1993 - 05/2020
12	Furuogrunder	21.23	64.92	01/1993 - 05/2020	63	Skanor	12.83	55.42	01/1993 - 07/2018
13	Gedser	11.93	54.57	03/1993 - 05/2020	64	Smogen	11.22	58.35	01/1993 - 05/2020
14	Goteborg Agnesberg	12.01	57.79	01/2013 - 05/2020	65	Sonderborg	9.78	54.92	01/2014 - 05/2020
15	Goteborg Eriksberg	11.91	57.70	01/2013 - 05/2020	66	Spikarna	17.53	62.36	01/1993 - 05/2020
16	Goteborg Lärjeholm	12.01	57.77	01/2013 - 05/2020	67	Stenungsund	11.83	58.09	01/1993 - 05/2020
17	Goteborg Tingstadstunneln	11.99	57.72	01/2013 - 05/2020	68	Stockholm	18.08	59.32	01/1993 - 05/2020
18	Goteborg Torshammen	11.79	57.68	01/1993 - 05/2020	69	Stralsund	13.10	54.32	01/2011 - 05/2020
19	Greifswald	13.45	54.09	01/2011 - 05/2020	70	Tallinn	24.76	59.44	11/2005 - 05/2020
20	Grena	10.93	56.41	01/1993 - 05/2020	71	TimmendorffPoel	11.38	53.99	01/2011 - 05/2020
21	Hanko	22.98	59.82	01/1993 - 05/2020	72	Travemuende	10.87	53.96	01/2005 - 05/2020
22	Heiligenhafen	11.01	54.37	01/2011 - 05/2020	73	Uddevalla	11.89	58.35	12/2010 - 05/2020
23	Holbaek	11.72	55.72	12/2011 - 05/2020	74	Ueckermuende	14.07	53.75	01/2011 - 05/2020
24	Hov	10.27	55.92	12/2011 - 05/2020	75	Vedbaek	12.57	55.85	12/2011 - 05/2020
25	Juelsminde	10.02	55.72	12/1996 - 05/2020	76	Viken	12.58	56.14	01/1993 - 05/2020
26	Kalix	23.10	65.70	01/1993 - 05/2020	77	Virtsu	23.51	58.58	12/2009 - 05/2020
27	Kalkgrund	9.89	54.82	01/2011 - 05/2020	78	Visby	18.28	57.64	01/1993 - 05/2020
28	Kalvehave	12.17	55.00	01/2014 - 05/2020	79	Wismar	11.46	53.90	01/2011 - 05/2020

- Con formato ... [253]
- Eliminado: A
- Con formato ... [254]
- Con formato ... [255]
- Eliminado:
- Con formato ... [256]
- Con formato ... [258]
- Con formato ... [257]
- Eliminado:
- Con formato ... [259]
- Con formato ... [260]
- Con formato ... [261]
- Eliminado: A
- Con formato ... [262]
- Eliminado: A
- Con formato ... [263]
- Con formato ... [264]
- Con formato ... [265]
- Con formato ... [266]
- Con formato ... [267]
- Con formato ... [268]
- Con formato ... [269]
- Con formato ... [270]
- Con formato ... [271]
- Con formato ... [272]
- Con formato ... [273]
- Con formato ... [274]
- Con formato ... [275]
- Con formato ... [276]
- Con formato ... [277]
- Con formato ... [278]
- Con formato ... [279]
- Con formato ... [280]
- Con formato ... [281]
- Con formato ... [282]
- Con formato ... [283]
- Con formato ... [284]
- Con formato ... [285]
- Con formato ... [286]
- Con formato ... [287]
- Con formato ... [288]
- Con formato ... [289]
- Con formato ... [290]
- Con formato ... [291]
- Con formato ... [292]
- Con formato ... [293]
- Con formato ... [294]
- Con formato ... [295]
- Con formato ... [296]
- Con formato ... [297]
- Con formato ... [298]
- Con formato ... [299]
- Con formato ... [300]
- Con formato ... [301]
- Con formato ... [302]
- Con formato ... [303]
- Con formato ... [304]
- Con formato ... [305]
- Con formato ... [306]
- Con formato ... [307]
- Con formato ... [308]
- Con formato ... [309]
- Con formato ... [310]
- Con formato ... [311]
- Con formato ... [312]
- Con formato ... [313]
- Con formato ... [314]

▲111	Dundalk	-6.39	54.01	04/2008 01/2013	-	169	CadzandTG	3.38	51.38	08/2014 12/2019	-	Con formato ... [388]
▲112	Felixstowe	1.35	51.97	01/1993 01/2011	-	170	DenHelderTG	4.75	52.97	01/2014 12/2019	-	Con formato ... [389]
▲113	Fenit	-9.86	52.27	01/2007 05/2020	-	171	EemshavenTG	6.84	53.46	08/2014 05/2020	-	Con formato ... [390]
▲114	Ferrol2TG	-8.25	43.48	01/2007 05/2020	-	172	EuroplafortmTG	3.28	52.00	01/2014 12/2019	-	Con formato ... [391]
▲115	FerrolTG	-8.33	43.46	01/2007 05/2020	-	173	F3platformTG	4.72	54.85	08/2014 12/2019	-	Con formato ... [392]
▲116	Fishguard	-4.98	52.02	01/1993 05/2020	-	174	HammerfestTG	23.68	70.66	01/2014 05/2020	-	Con formato ... [393]
▲117	FormenteraTG	1.42	38.73	09/2009 05/2020	-	175	HanstholmTG	8.60	57.12	01/2015 05/2020	-	Con formato ... [394]
▲118	GandiaTG	-0.15	38.99	07/2007 05/2020	-	176	HarstadTG	16.55	68.80	01/2014 05/2020	-	Con formato ... [395]
▲119	GijonTG	-5.70	43.56	07/1995 05/2020	-	177	HavnebyTG	8.57	55.09	01/2015 05/2020	-	Con formato ... [396]
▲120	Hinkley	-3.13	51.22	01/1993 05/2020	-	178	HelgeroaTG	9.86	59.00	01/2007 05/2020	-	Con formato ... [397]
▲121	Holyhead	-4.62	53.32	02/2005 05/2020	-	179	HelgolandTG	7.89	54.18	01/2014 05/2020	-	Con formato ... [398]
▲122	Howth	-6.07	53.39	10/2006 11/2019	-	180	HirtshalsTG	9.97	57.60	01/2015 05/2020	-	Con formato ... [399]
▲123	HuelvaTG	-6.83	37.13	09/1996 05/2020	-	181	HoekVanHollandTG	4.12	51.98	01/2014 12/2019	-	Con formato ... [400]
▲124	IbizaTG	1.45	38.91	01/2003 05/2020	-	182	HoernumTG	8.30	54.76	01/2014 05/2020	-	Con formato ... [401]
▲125	Ilfracombe	-4.12	51.22	01/1993 05/2020	-	183	HonningsvaagTG	25.97	70.98	01/2007 05/2020	-	Con formato ... [402]
▲126	Kinlochbervie	-5.05	58.46	01/1993 05/2020	-	184	HuibernaTG	6.40	53.57	06/2014 12/2019	-	Con formato ... [403]
▲127	LangosteiraTG	-8.53	43.35	01/2014 05/2020	-	185	IJmondstrooppaalTG	4.52	52.46	08/2014 05/2020	-	Con formato ... [404]
▲128	Leith	-3.18	55.99	01/1993 05/2020	-	186	K141TG	3.63	53.27	06/2015 05/2020	-	Con formato ... [405]
▲129	Llandudno	-3.82	53.31	05/2014 05/2020	-	187	KabelvaagTG	14.48	68.21	01/2007 05/2020	-	Con formato ... [406]
▲130	Lowestoft	1.75	52.47	01/1993 05/2020	-	188	KristiansundTG	7.73	63.11	01/2007 05/2020	-	Con formato ... [407]
▲131	MahonTG	4.27	39.89	10/2009 05/2020	-	189	L91TG	4.87	53.57	06/2015 05/2020	-	Con formato ... [408]
▲132	MalagaTG	-4.42	36.71	01/1993 05/2020	-	190	LauwersoogTG	6.20	53.41	06/2015 12/2019	-	Con formato ... [409]
▲133	MarinTG	-8.69	42.41	01/2010 05/2020	-	191	LichteilandGoeree1TG	3.67	51.93	01/2015 05/2020	-	Con formato ... [410]
▲134	MelillaTG	-2.92	35.29	10/2007 05/2020	-	192	ListTG	8.44	55.02	01/2014 09/2018	-	Con formato ... [411]
▲135	Milford	-5.05	51.72	01/1993 05/2020	-	193	MaloyTG	5.11	61.93	01/2007 05/2020	-	Con formato ... [412]
▲136	Millport	-4.90	55.75	01/1993 05/2020	-	194	MandoTG	8.58	55.28	01/2015 05/2020	-	Con formato ... [413]
▲137	MotrilTG	-3.52	36.72	01/2005 05/2020	-	195	NieuwpoortTG	2.73	51.15	08/2014 05/2020	-	Con formato ... [414]
▲138	Newhaven	0.07	50.78	01/1993 05/2020	-	196	NorderneyTG	7.16	53.70	01/2014 05/2020	-	Con formato ... [415]
▲139	Newlyn	-5.53	50.10	01/1993 09/2018	-	197	NorthCoramantTG	1.16	61.34	08/2014 05/2020	-	Con formato ... [417]
▲140	NorthShields	-1.43	55.00	01/1993 05/2020	-	198	OostendeTG	2.93	51.23	08/2014 05/2020	-	Con formato ... [418]
▲141	PalmaMajorcaTG	2.64	39.56	09/2009 05/2020	-	199	OscarsborgTG	10.60	59.68	01/2007 05/2020	-	Con formato ... [419]
▲142	Plymouth	-4.19	50.37	01/1993 05/2020	-	200	RorvikTG	11.23	64.86	01/2007 05/2020	-	Con formato ... [420]
												Con formato ... [421]
												Con formato ... [422]
												Con formato ... [423]
												Con formato ... [424]
												Con formato ... [425]
												Con formato ... [426]
												Con formato ... [427]
												Con formato ... [428]
												Con formato ... [429]
												Con formato ... [430]
												Con formato ... [431]
												Con formato ... [432]
												Con formato ... [433]
												Con formato ... [434]
												Con formato ... [435]
												Con formato ... [436]
												Con formato ... [437]
												Con formato ... [438]
												Con formato ... [439]
												Con formato ... [440]
												Con formato ... [441]
												Con formato ... [442]
												Con formato ... [443]
												Con formato ... [444]
												Con formato ... [445]
												Con formato ... [446]
												Con formato ... [447]
												Con formato ... [448]
												Con formato ... [449]
												Con formato ... [450]
												Con formato ... [451]

Station	Longitude (°E)	Latitude (°N)	Trend DT2021 all satellites (mm year ⁻¹)	Trend DT2021 two satellites (mm year ⁻¹)	Trend DT2018 all satellites (mm year ⁻¹)	Trend DT2018 two satellites (mm year ⁻¹)	Trend DT2018 two satellites (mm year ⁻¹)	Trend DT2018 two satellites (mm year ⁻¹)	
143	PortEllen	-6.19	55.63	01/1993 - 02/2011	201	Stavanger TG	5.73	58.97	01/2014 - 05/2020
144	Portpatrick	-5.12	54.84	01/1993 - 05/2020	202	Thyboron KystTG	8.21	56.71	01/2015 - 05/2020
145	Portrush	-6.67	55.20	07/1995 - 05/2020	203	Torsminde KystTG	8.12	56.37	01/2015 - 05/2020
146	Portsmouth	-1.11	50.80	01/1993 - 05/2020	204	TregdeTG	7.55	58.01	01/2007 - 05/2020
147	RingaskiddyNMCI	-8.30	51.84	01/2012 - 05/2020	205	TromsøTG	18.96	69.65	01/2007 - 05/2020
148	Rossaveel Pier	-9.56	53.27	09/2020 - 05/2020	206	VardøTG	31.10	70.37	01/2014 - 05/2020
149	SaguntoTG	-0.21	39.63	07/2006 - 05/2020	207	VikerTG	10.95	59.04	01/2007 - 05/2020
150	SantanderTG	-3.79	43.46	01/1993 - 05/2020	208	VlakteVd RaanTG	3.24	51.50	08/2014 - 05/2020
151	StHelier	-2.12	49.18	01/1993 - 05/2020	209	VlielandHavenTG	5.09	53.30	08/2014 - 05/2020
152	Stornoway	-6.38	58.22	01/1993 - 05/2020	210	WangerøgeTG	7.93	53.81	01/2014 - 05/2020
153	TarifaTG	-5.60	36.01	07/2009 - 05/2020	211	WestkapelleTG	3.44	51.52	08/2014 - 05/2020
154	TarragonaTG	1.21	41.08	05/2011 - 05/2020	212	WilhelmshavenTG	8.15	53.51	01/2014 - 05/2020
155	Tobermory	-6.06	56.62	03/1993 - 05/2020	213	ZeebruggeTG	3.20	51.35	08/2014 - 05/2020
156	ValenciaTG	-0.33	39.46	01/1993 - 05/2020					
157	VigoTG	-8.73	42.24	01/1993 - 05/2020					
158	Weymouth	-2.45	50.61	01/1993 - 05/2020					
159	Wick	-3.08	58.43	01/1993 - 05/2020					
160	ANDRATX	2.39	39.55	06/2011 - 05/2020					

Table B2. Tide gauge stations from the subset covering the 20-year period spanning from January 2000 to December 2019 located in the Baltic and Mediterranean Seas, and along the North Atlantic European shore. The location of the tide gauge sites, the linear trend (mm year⁻¹) computed from the DUACS DT2021 and DT2018 reprocessing all satellites and two satellites most correlated altimeter grid point to tide gauges, the tide gauges, and the mean trend value are displayed.

Station	Longitude (°E)	Latitude (°N)	Trend DT2021 all satellites (mm year ⁻¹)	Trend DT2021 two satellites (mm year ⁻¹)	Trend DT2018 all satellites (mm year ⁻¹)	Trend DT2018 two satellites (mm year ⁻¹)	Trend DT2018 two satellites (mm year ⁻¹)
Barseback	12.90	55.76	3.22	3.26	2.99	2.88	2.60
Forsmark	18.21	60.41	3.49	3.53	3.71	3.03	1.12
Furuogrund	21.23	64.92	3.33	3.07	3.45	2.82	2.62
GoteborgTorshammen	11.79	57.68	3.62	3.70	3.84	3.56	2.31
Hanko	22.98	59.82	2.33	2.81	2.88	2.72	0.16
Kungsholmsfort	15.59	56.11	3.12	2.87	3.19	2.37	2.96
Kungsvik	11.13	59.00	3.52	3.50	3.70	3.60	1.72
OlandsNorraUdde	17.10	57.37	3.10	3.03	3.18	2.58	0.69
Oskarshamn	16.48	57.28	3.02	3.05	3.24	2.50	1.27
Pori	21.46	61.59	4.11	3.64	4.35	3.50	4.34
Ratan	20.90	63.99	3.34	3.19	3.48	2.77	2.02
Simrishamn	14.36	55.56	3.12	2.90	3.21	2.65	1.34
Skanor	12.83	55.42	3.43	3.26	3.33	2.83	2.14
Smogen	11.22	58.35	3.23	3.50	3.48	3.50	1.26
Spikarna	17.53	62.36	3.56	3.32	3.75	3.05	0.99
Stenungsund	11.83	58.09	3.63	3.75	3.48	3.49	1.93
Stockholm	18.08	59.32	3.02	3.23	3.37	3.01	1.26
Viken	12.58	56.14	3.21	3.42	3.22	3.10	1.51

- Con formato ... [452]
- Con formato ... [453]
- Con formato ... [454]
- Con formato ... [455]
- Con formato ... [456]
- Con formato ... [457]
- Con formato ... [458]
- Con formato ... [459]
- Con formato ... [460]
- Con formato ... [461]
- Con formato ... [462]
- Con formato ... [463]
- Con formato ... [464]
- Con formato ... [465]
- Con formato ... [466]
- Con formato ... [467]
- Con formato ... [468]
- Con formato ... [469]
- Con formato ... [470]
- Con formato ... [471]
- Con formato ... [472]
- Con formato ... [473]
- Con formato ... [474]
- Con formato ... [475]
- Con formato ... [476]
- Con formato ... [477]
- Con formato ... [478]
- Con formato ... [479]
- Con formato ... [480]
- Con formato ... [481]
- Con formato ... [482]
- Con formato ... [483]
- Con formato ... [484]
- Con formato ... [485]
- Con formato ... [486]
- Con formato ... [487]
- Con formato ... [488]
- Con formato ... [489]
- Con formato ... [490]
- Con formato ... [491]
- Con formato ... [492]
- Eliminado: A
- Con formato ... [493]
- Con formato ... [494]
- Eliminado:
- Con formato ... [495]
- Con formato ... [496]
- Con formato ... [497]
- Eliminado: closest
- Con formato ... [498]
- Con formato ... [500]
- Con formato ... [501]
- Con formato ... [499]
- Con formato ... [502]
- Con formato ... [503]
- Con formato ... [504]
- Con formato ... [505]
- Con formato ... [506]
- Con formato ... [507]
- Con formato ... [508]
- Con formato ... [509]
- Con formato ... [510]
- Con formato ... [511]
- Con formato ... [512]
- Con formato ... [513]
- Con formato ... [514]
- Con formato ... [515]

Visby		18.28	57.64	3.13	2.80	3.35	2.70	0.73
Brest		-4.50	48.38	2.57	2.61	2.68	2.57	2.64
SaintMalo	North	-2.03	48.64	1.26	2.59	1.60	2.54	2.37
Bilbao	Atlantic	-3.05	43.36	2.63	2.36	2.40	2.10	2.94
Huelva	European Shore	-6.83	37.13	3.30	3.39	3.05	2.85	2.27
Santander		-3.79	43.46	2.33	2.42	2.51	2.12	1.88
Barcelona		2.16	41.34	3.33	3.25	3.07	2.77	5.06
Malaga	Med Sea	-4.42	36.71	3.25	2.58	2.19	2.58	0.77
Valencia		-0.33	39.46	3.62	3.47	3.15	2.84	2.13
Mean value				3.14	3.13	3.18	2.85	1.96

- Con formato: Color de fuente: Texto 1
- Con formato: Justificado
- Con formato: Color de fuente: Texto 1
- Con formato: Justificado
- Con formato: Color de fuente: Texto 1
- Con formato: Justificado
- Con formato: Color de fuente: Texto 1
- Con formato: Justificado
- Con formato: Color de fuente: Texto 1
- Con formato: Justificado
- Con formato: Color de fuente: Texto 1
- Con formato: Justificado
- Con formato: Color de fuente: Texto 1
- Con formato: Justificado
- Con formato: Color de fuente: Texto 1
- Con formato: Justificado
- Con formato: Color de fuente: Texto 1
- Con formato: Justificado

Con formato: Color de fuente: Texto 1

Data availability

Altimetry datasets are available from the Copernicus Marine Service web portal (<https://resources.marine.copernicus.eu/products/>, last access: 15 July 2022). Tide gauge measurements are available from the Copernicus Marine INS-TAC data repository web portal (www.marineinsitu.eu, last access: 3 June 2022). Tide gauge data are provided by the following regional in situ data production centres: Puertos del Estado (Spain) for the Iberia-Biscay-Ireland region; HCMR (Greece) for the Mediterranean Sea; IMR (Norway) for the Arctic; SMHI (Sweden) for the Baltic Sea; BSH (Germany) for the North West Shelves region; Coriolis (France) for the global ocean. The ancillary data used to obtain the Dynamic Atmospheric Correction applied to the altimetry grid point closest to the tide gauge locations are available at the AVISO webpage: <https://www.aviso.altimetry.fr/en/> (last access: 16 May 2022).

Con formato: Color de fuente: Texto 1, Inglés (americano)

Con formato: Color de fuente: Texto 1

Con formato: Color de fuente: Texto 1, Inglés (americano)

Con formato: Color de fuente: Texto 1

Con formato: Color de fuente: Texto 1, Inglés (americano)

Con formato: Color de fuente: Texto 1

Con formato: Color de fuente: Texto 1, Inglés (americano)

Author contributions

Conceptualisation: Antonio Sánchez Román, M. Isabelle Pujol, Ananda Pascual and Yannice Faugère; altimetry data processing: M. Isabelle Pujol; tide gauge data processing: Antonio Sánchez Román; statistical analysis: Antonio Sánchez Román and Ananda Pascual; manuscript writing: Antonio Sánchez Román, with inputs from all co-authors. All authors have read and agreed to the published version of the manuscript.

Competing interests

The authors declare that they have no conflict of interest

Acknowledgement

This study has been conducted in the frame of the Copernicus Marine Service SL-TAC and In Situ TAC (INS-TAC) projects. The Copernicus Marine Service, led by Mercator-Ocean, is based on a distributed model of service production, relying on the expertise of a wide network of participating European organisations involved in operational oceanography. We acknowledge the regional in situ data production centres responsible for the collection and distribution of the tide gauge data used in this study: Puertos del Estado (Spain) for the Iberia-Biscay-Ireland region; HCMR (Greece) for the Mediterranean Sea; IMR (Norway) for the Arctic; SMHI (Sweden) for the Baltic Sea; BSH (Germany) for the North-West Shelves region; Coriolis (France) for the global ocean. This work represents a contribution to CSIC Interdisciplinary Thematic Platform (PTI) Teledetección. (PTI-TELEDETECT), and it was carried out within the framework of the activities of the Spanish Government through the "Maria de Maeztu Centre of Excellence" accreditation to IMEDEA (CSIC-UIB) (CEX2021-001198).

Con formato: Color de fuente: Texto 1

Con formato: Color de fuente: Texto 1, Inglés (americano)

Con formato: Color de fuente: Texto 1, Inglés (americano)

Con formato: Fuente: Sin Cursiva, Color de fuente: Texto 1, Inglés (americano)

Con formato: Color de fuente: Texto 1, Inglés (americano)

References

Ablain, M. and Legeais, J. F.: SLOOP Tache 2.4 : Amélioration du filtrage de la correction ionosphérique bifrèquence, 2010.

Con formato: Justificado, Espacio Antes: 6 pto, Después: 6 pto

Agha Karimi A, Bagherbandi M and Horemuz M.: Multidecadal Sea Level Variability in the Baltic Sea and Its Impact on Acceleration Estimations, *Front. Mar. Sci.* 8:702512, <https://doi.org/10.3389/fmars.2021.702512>, 2021.

Con formato: Color de fuente: Texto 1

Andersen O., Stenseng, L., Piccioni, G., Knudsen, P.: The DTU15 MSS (Mean Sea Surface) and

Con formato: Color de fuente: Texto 1, Inglés (americano)

DTU15LAT (Lowest Astronomical Tide) reference surface. ESA Living Planet Symposium 2016 - Prague, Czech Republic. http://lps16.esa.int/page_session189.php#1579p, 2016.

Aulicino, G., Y. Cotroneo, S. Ruiz, A. J. Sánchez Román, A. Pascual, G. Fusco, J. Tintoré, G. Budillon. Monitoring the Algerian Basin through glider observations, satellite altimetry and numerical simulations along a SARAL/AltiKa track. *Journal of Mar. Sys.* 179, 55-71, 2018.

Ballarotta, M., Ubelmann, C., Pujol, M.-I., Taburet, G., Fournier, F., Legeais, J.-F., Faugère, Y., Delepouille, A., Chelton, D., Dibarboure, G., and Picot, N.: On the resolutions of ocean altimetry maps, *Ocean Sci.*, 15, 1091–1109, <https://doi.org/10.5194/os-15-1091-2019>, 2019.

Birol, F.; Fuller, N.; Lyard, F.; Cancet, M.; Niño, F.; Delebecque, C.; Fleury, S.; Toubanc, F.; Melet, A.; Saraceno, M.; et al. Coastal applications from nadir altimetry: Example of the X-TRACK regional products. *Adv. Space Res.*, 59, 936–953, 2017.

Birol, F.; Léger, F.; Passaro, M.; Cazenave, A.; Niño, F.; Calafat, F.M.; Shaw, A.; Legeais, J.-F.; Gouzenes, Y.; Schwatke, C.; et al. The X-TRACK/ALES multi-mission processing system: New advances in altimetry towards the coast. *Adv. Space Res.*, 67, 2398–2415, 2021.

Carrère, L., and F. Lyard: Modeling the barotropic response of the global ocean to atmospheric wind and pressure forcing—comparisons with observations. *Geophys. Res. Lett.* 30: 1275. doi: 10.1029/2002GL016473, 2003

Carrere, L., Lyard, F., Allain, D., Cancet, M., Picot, N., Guillot, A., Faugère, Y., Dupuy, S., and Baghi- R.: Final version of the FES2014 global ocean tidal model, which includes a new loading tide solution, OSTST, La Rochelle, France, https://ostst.avisio.altimetry.fr/fileadmin/user_upload/tx_ausyclseminar/files/Poster_FES2014b_OSTS_T_2016.pdf, 2016.

Cartwright, D. E. and Tayler, R. J.: New Computations of the Tide-generating Potential. *Geophysical Journal International*, 23, 45–73, <https://doi.org/10.1111/j.1365-246X.1971.tb01803.x>, 1971.

Cartwright, D. E. and Edden, A. C.: Corrected Tables of Tidal Harmonics. *Geophysical Journal International*, 33, 253–264, <https://doi.org/10.1111/j.1365-246X.1973.tb03420.x>, 1973.

Cipollini, P., Calafat, F.-M., Jevrejeva, S., Melet, A., Prandi, P.: Monitoring sea level in the coastal zone with satellite altimetry and tide gauges. *Surv. Geophys.* 2017, 38:33–57. <https://doi.org/10.1007/s10712-016-9392-0>, 2017

Codiga, D.L.: Unified Tidal Analysis and Prediction Using the UTide Matlab Functions. Technical Report 2011-01. Graduate School of Oceanography, University of Rhode Island, Narragansett, RI. 59pp. <ftp://www.po.gso.uri.edu/pub/downloads/codiga/pubs/2011Codiga-UTide-Report.pdf>, 2011

Desai, S., Wahr, J., and Beckley, B.: Revisiting the pole tide for and from satellite altimetry. *J Geod.*, 89, 1233–1243, <https://doi.org/10.1007/s00190-015-0848-7>, 2015.

Dibarboure, G., Pujol, M.-I., Briol, F., Le Traon, P.-Y., Larni- col, G., Picot, N., Mertz, F., Escudier, P., Ablain, M., and Dufau, C.: Jason-2 in DUACS: first tandem results and impact on processing and products, *Mar. Geod.*, OSTM Jason-2 Calibration/Validation Special Edition – Part 2, 34, 214–241, doi:10.1080/01490419.2011.584826, 2011.

Dorandeu, J., and P.-Y. Le Traon: Effects of global mean atmospheric pressure variations on mean sea level changes from Topex/Poseidon. *J. Atmos. Oceanic Technol.* 16: 1279 – 1283, 1999.

Efron, B., and Tibshirani, R.: Bootstrap methods for standart errors, condifence intervals, and other measures of statistical accuracy, *Statistical Science*, Vol. 1, No. 1: 54 – 77, 1986.

Faugère, Y., Taburet, G., Ballarotta, M., Pujol, I., Legeais, J. F., Maillard, G., Durand, C., Dagneau, Q., Lievin, M., Sanchez Roman, A., and Dibarboure, G.: DUACS DT2021: 28 years of reprocessed sea level altimetry products, EGU General Assembly 2022, Vienna, Austria, 23–27 May 2022, EGU22-7479, <https://doi.org/10.5194/egusphere-egu22-7479>, 2022.

Con formato: Color de fuente: Texto 1

Con formato: Color de fuente: Texto 1, Inglés (americano)

Con formato: Color de fuente: Texto 1

Con formato: Párrafo de lista, Espacio Después: 8 pto, Interlineado: Múltiple 1,08 lín., Control de líneas viudas y huérfanas, No ajustar espacio entre texto latino y asiático, No ajustar espacio entre texto asiático y números, Diseño: Claro (Blanco)

Con formato: Fuente: Sin Negrita, Color de fuente: Texto 1

Con formato: Color de fuente: Texto 1

Con formato: Fuente: (Predeterminada) +Cuerpo (Times New Roman), Subrayado, Color de fuente: Texto 1, Inglés (británico)

Con formato: Color de fuente: Texto 1, Inglés (americano)

Con formato: Justificado

Con formato: Color de fuente: Texto 1

Con formato: Color de fuente: Texto 1, Inglés (americano)

Con formato: Color de fuente: Texto 1

Con formato: Fuente: Sin Cursiva, Color de fuente: Texto 1

Con formato: Color de fuente: Texto 1

Con formato: Fuente: Sin Cursiva, Color de fuente: Texto 1

Con formato: Color de fuente: Texto 1

Con formato: Justificado, Espacio Antes: 6 pto, Después: 6 pto

Con formato: Color de fuente: Texto 1, Inglés (americano)

Con formato: Color de fuente: Texto 1

Con formato: Justificado

Con formato: Color de fuente: Texto 1, Inglés (americano)

Con formato: Color de fuente: Texto 1, Inglés (americano)

Con formato: Color de fuente: Texto 1

Con formato: Color de fuente: Texto 1, Inglés (americano)

Con formato: Color de fuente: Texto 1, Inglés (americano)

Con formato: Color de fuente: Texto 1

Con formato: Color de fuente: Texto 1, Inglés (americano)

Con formato: Color de fuente: Texto 1, Inglés (americano)

Con formato: Justificado, Espacio Antes: 6 pto, Después: 6 pto

Con formato: Color de fuente: Texto 1

Con formato: Color de fuente: Texto 1, Inglés (americano)

Con formato: Color de fuente: Texto 1

Con formato: Color de fuente: Texto 1

Con formato: Color de fuente: Texto 1

Con formato: Justificado

Con formato: Color de fuente: Texto 1, Inglés (americano)

Con formato: Color de fuente: Texto 1, Inglés (americano)

Con formato: Justificado, Espacio Antes: 6 pto, Después: 6 pto

Con formato: Color de fuente: Texto 1

Con formato: Color de fuente: Texto 1, Inglés (americano)

Fernandes, M. J., Lázaro, C., Ablain, M., and Pires, N.: Improved wet path delays for all ESA and reference altimetric missions, *Remote Sensing of Environment*, 169, 50–74, <https://doi.org/10.1016/j.rse.2015.07.023>, 2015.

Con formato: Color de fuente: Texto 1

Con formato: Justificado

Con formato: Color de fuente: Texto 1, Inglés (americano)

Con formato: Color de fuente: Texto 1, Inglés (americano)

Con formato: ... [538]

Con formato: Color de fuente: Texto 1, Inglés (americano)

Con formato: ... [539]

Con formato: Color de fuente: Texto 1, Inglés (americano)

Con formato: Color de fuente: Texto 1

Fernandes, M. J. and Lázaro, C.: GPD+ Wet Tropospheric Corrections for CryoSat-2 and GFO Altimetry Missions, 8, 851, <https://doi.org/10.3390/rs8100851>, 2016.

Gaspar, P. and Ogor, F.: Estimation and analysis of the sea state bias of the ERS-1 altimeter, technical report of IFREMER contract 94/2.426016/C, 1994.

Grégoire, M.: EO4SIBS Consortium (ESA Project). Earth Observation Products for Science and Innovation in the Black Sea, Presented at EGU21, Gather Online, 2021. Available online: <https://meetingorganizer.copernicus.org/EGU21/EGU21-10237.html> (accessed on 12 April 2023).

Heslop, E. E., A. Sánchez-Román, A. Pascual, D. Rodríguez, K.A. Reeve, Y. Faugère, M. Raynal. Sentinel-3A views ocean variability more accurately at finer resolution. *Geophys. Res. Letters*, 44, 1-8, 2017.

Con formato: Párrafo de lista, Espacio Antes: 0 pto, Después: 8 pto, Interlineado: Múltiple 1,08 lín., Control de líneas viudas y huérfanas, No ajustar espacio entre texto latino y asiático, No ajustar espacio entre texto asiático y números, Diseño: Claro (Blanco)

Con formato: ... [540]

Iijima, B. A., Harris, I. L., Ho, C. M., Lindqwister, U. J., Mannucci, A. J., Pi, X., Reyes, M. J., Sparks, L. C., and Wilson, B. D.: Automated daily process for global ionospheric total electron content maps and satellite ocean altimeter ionospheric calibration based on Global Positioning System data, *Journal of Atmospheric and Solar-Terrestrial Physics*, 61, 1205–1218, [https://doi.org/10.1016/S1364-6826\(99\)00067-X](https://doi.org/10.1016/S1364-6826(99)00067-X), 1999.

Con formato: Color de fuente: Texto 1

Con formato: Justificado

Con formato: Color de fuente: Texto 1, Inglés (americano)

Con formato: Color de fuente: Texto 1, Inglés (americano)

International Altimetry Team*. Altimetry for the future: Building on 25 years of progress. *Advances in Space Research*, 68(2), 319-363, <https://doi.org/10.1016/j.asr.2021.01.022>, 2021.

Con formato: Fuente: 12 pto

Con formato: Justificado, Espacio Antes: 0 pto, Después: 0 pto, Control de líneas viudas y huérfanas

Con formato: ... [541]

Jousset, S. and Mulet: New Mean Dynamic Topography of the Black Sea and Mediterranean Sea from altimetry, gravity and in-situ data, 2020.

Con formato: Color de fuente: Texto 1, Inglés (americano)

Jousset, S., Aydogdu, A., Ciliberti, S., Clementi, E., Escudier, R., Jansen, E., Lima, L., Menna, M., Mulet, S., Nigam, T., Sanchez-Roman, A., Tarry, D. R., Pascual, A., Peneva, E., Poulain, P.-M., and Taupier-Letage, I.: New Mean Dynamic Topography of the Mediterranean Sea from altimetry, gravity and in-situ data, 2022 (in preparation).

Con formato: Justificado, Espacio Antes: 6 pto, Después: 6 pto

Con formato: Color de fuente: Texto 1

Con formato: Justificado

Laíz, I., Gómez-Enri, J., Tejedor, B., Aboitiz, A., Villares, P.: Seasonal sea level variations in the gulf of Cadiz continental shelf from in-situ measurements and satellite altimetry. *Cont. Shelf Res.* 53, 77–88, <http://dx.doi.org/10.1016/j.csr.2012.12.008>, 2013.

Con formato: ... [542]

Con formato: Color de fuente: Texto 1, Inglés (americano)

Con formato: ... [543]

Con formato: Color de fuente: Texto 1, Inglés (americano)

Con formato: ... [544]

Laíz, I., Tejedor, B., Gómez-Enri, J., Aboitiz, A., Villares, P.: Contributions to the sea level seasonal cycle within the Gulf of Cadiz (Southwestern Iberian Peninsula). *J. Mar. Syst.* 159, 55-66, <https://doi.org/10.1016/j.jmarsys.2016.03.006>, 2016.

Con formato: Fuente: Times New Roman, 12 pto, Color de fuente: Texto 1

Marcos, M., Pascual, A., and Pujol, I.: Improved satellite altimeter mapped sea level anomalies in the Mediterranean Sea: A comparison with tide gauges, *Advances in Space Research* 56, 596 – 604, <https://doi.org/10.1016/j.asr.2015.04.027>, 2015.

Con formato: Justificado, Espacio Antes: 6 pto, Después: 6 pto

Con formato: Fuente: 20 pto, Color de fuente: Texto 1

Mercier, F.; Rosmorduc, V.; Carrere, L.; Thibaut, P. Coastal and Hydrology Altimetry Product (PISTACH) Handbook. 2010. Available online: https://www.avisio.altimetry.fr/fileadmin/documents/data/tools/hdbk_Pistach.pdf (accessed on 12 April 2023).

Eliminado: 1 ... [545]

Con formato: Color de fuente: Texto 1

Con formato: Justificado

Con formato: Color de fuente: Texto 1, Inglés (americano)

Con formato: Color de fuente: Texto 1, Inglés (americano)

Mertz, F., Mercier, F., Labroue, S., Tran, N., and Dorandeu, J.: ERS-2 OPR data quality assessment : Long-term monitoring - particular investigation, 2005.

Con formato: Fuente: (Predeterminada) +Cuerpo (Times New Roman), Color de fuente: Texto 1, Inglés (americano)

Morrow, R., Fu, LL., Rio, MH. et al. Ocean Circulation from Space. *Surv Geophys.* <https://doi.org/10.1007/s10712-023-09778-9>, 2023.

Con formato: Justificado, Espacio Antes: 0 pto, Después: 0 pto, Control de líneas viudas y huérfanas

Con formato: ... [546]

Con formato: Color de fuente: Texto 1, Inglés (americano)

Mulet, S., Rio, M.-H., Etienne, H., Artana, C., Cancet, M., Dibarboure, G., Feng, H., Husson, R., Picot, N., Provost, C., and Strub, P. T.: The new CNES-CLS18 global mean dynamic topography, 17, 789–808, <https://doi.org/10.5194/os-17-789-2021>, 2021.

Con formato: Justificado, Espacio Antes: 6 pto, Después: 6 pto

Con formato: ... [547]

Pascual, A.; Faugère, Y.; Larnicol, G.; Le Traon, P.-Y.: Improved description of the ocean mesoscale variability by combining four satellite altimeters. *Geophys. Res. Lett.*, 33, L02611, 2006.

[Pascual, A., Marcos, M., Gomis, D.: Comparing the sea level response to pressure and wind forcing of two barotropic models: validation with tide gauge and altimetry data. *J. Geophys. Res.* 113, C07011, <http://dx.doi.org/10.1029/2007jc004459>, 2008](#)

[Pascual, A., Boone, C., Larnicol, G., Le Traon, P.Y.: On the quality of real-time altimeter gridded fields: comparison with in situ data. *J. Atmos. Ocean. Technol.* 2009, 26, 556–569. <https://doi.org/10.1175/2008JTECHO556.1>, 2009.](#)

Peltier W.R.: Postglacial Variations in the Level of the Sea: Implications for Climate Dynamics and Solid-Earth Geophysics. *Reviews of Geophysics* 1998. 36(4),603-689, 1998. ^[1]_{SEPT}

Peltier W.R.: Global Glacial Isostasy and the Surface of the Ice-Age Earth: The ICE-5G(VM2) model and GRACE. *Ann. Rev. Earth. Planet. Sci.* 2004. 32,111-149, 2004.

PSMSL. Permanent Service for Mean Sea Level: “Tide Gauge Data”. 2016. Available online: <http://www.psmsl.org/data/obtaining/> (accessed on 4 July 2022).

PUGS document of the sea level products version vDT2021 D3.SL.1-v2.0_PUGS_of_v2DT2021_SeaLevel_products_v1.1, 2021. Available online: https://datastore.copernicus-climate.eu/documents/satellite-sea-level/vDT2021/D3.SL.1-v2.0_PUGS_of_v2DT2021_SeaLevel_products_v1.1_APPROVED_Ver1.pdf (accessed on 4 July 2022).

[Pujol, M., Schaeffer, P., Faugère, Y., Raynal, M., Dibarboure, G., and Picot, N.: Gauging the Improvement of Recent Mean Sea Surface Models: A New Approach for Identifying and Quantifying Their Errors, *J. Geophys. Res. Oceans*, 123, 5889–5911, <https://doi.org/10.1029/2017JC013503>, 2018](#)

[Pujol, M.-I.; Dupuy, S.; Vergara, O.; Sánchez Román, A.; Faugère, Y.; Prandi, P.; Dabat, M.-L.; Dagneaux, Q.; Lievin, M.; Cadier, E.; et al. Refining the Resolution of DUACS Along-Track Level-3 Sea Level Altimetry Products. *Remote Sens.* 15,793. <https://doi.org/10.3390/rs15030793>, 2023.](#)

QUID document for Sea Level TAC DUACS products CMEMS-SL-QUID-008-032-068, 2022. Available online: <https://catalogue.marine.copernicus.eu/documents/QUID/CMEMS-SL-QUID-008-032-068.pdf> (accessed on 4 July 2022).

[Ries, J. C. and Desai, S.: Conventional model update for rotational deformation, 2017.](#)

[Roblou, L.; Lamouroux, J.; Bouffard, J.; Lyard, F.; Le Hénaff, M.; Lombard, A.; Marsaleix, P.; De Mey, P.; Birol, F. Post-processing altimeter data towards coastal applications and integration into coastal models. In *Coastal Altimetry*; Vignudelli, S., Kostianoy, A., Cipollini, P., Benveniste, J., Eds.; Springer: Berlin/Heidelberg, Germany, 2011; pp. 217–246.](#)

[Sánchez-Román, A., Ruiz, S., Pascual, A., Mourre, B., and Guinehut, S.: On the mesoscale monitoring capability of Argo floats in the Mediterranean Sea, *Ocean Sci.*, 13, 223–234, <https://doi.org/10.5194/os-13-223-2017>, 2017.](#)

[Sánchez-Román, A.; Pascual, A.; Pujol, M.-I.; Taburet, G.; Marcos, M.; Faugère, Y.: Assessment of DUACS Sentinel-3A Altimetry Data in the Coastal Band of the European Seas: Comparison with Tide Gauge Measurements. *Remote Sens.* 2020, 12, 3970, <https://doi.org/10.3390/rs12233970>, 2020.](#)

[Sandwell D., Schaeffer P., Dibarboure G., Picot N.: High Resolution Mean Sea Surface for SWOT. <https://spark.adobe.com/page/MkjuidFYVbHsZ/>, 2017.](#)

[Scharroo, R. and Smith, W. H. F.: A global positioning system-based climatology for the total electron content in the ionosphere. 115. <https://doi.org/10.1029/2009JA014719>, 2010.](#)

[Taibi, H., Haddad, M.: Estimating trends of the Mediterranean Sea level changes from tide gauge and satellite altimetry data \(1993–2015\). *J. Ocean. Limnol.* 37, 1176–1185. <https://doi.org/10.1007/s00343-019-8164-3>, 2019.](#)

Con formato: Color de fuente: Texto 1

Con formato: Color de fuente: Texto 1

Con formato: Color de fuente: Texto 1

Eliminado: ¶

Con formato: Color de fuente: Texto 1, Inglés (americano)

Con formato: Color de fuente: Texto 1

Con formato: Color de fuente: Texto 1, Inglés (americano)

Con formato: Color de fuente: Texto 1

Con formato: Color de fuente: Texto 1, Inglés (americano)

Con formato: Justificado

Con formato: Color de fuente: Texto 1

Con formato: Color de fuente: Texto 1, Inglés (americano)

Con formato: Justificado, Espacio Antes: 6 pto, Después: 6 pto

Con formato: Fuente: Sin Cursiva, Color de fuente: Texto 1, Inglés (americano)

Con formato: Color de fuente: Texto 1

Con formato: Fuente: Sin Cursiva, Color de fuente: Texto 1, Inglés (americano)

Con formato: Color de fuente: Texto 1

Con formato: Color de fuente: Texto 1, Inglés (americano)

Con formato: Color de fuente: Texto 1

Con formato: Color de fuente: Texto 1

Con formato: Color de fuente: Texto 1

Con formato: Color de fuente: Texto 1, Inglés (americano)

Con formato: Color de fuente: Texto 1

Con formato: Justificado

Con formato: Color de fuente: Texto 1

Con formato: Color de fuente: Texto 1

Con formato: Color de fuente: Texto 1, Inglés (americano)

Con formato: Color de fuente: Texto 1

Con formato: Justificado, Espacio Antes: 6 pto, Después: 6 pto

Con formato: Color de fuente: Texto 1, Inglés (americano)

Con formato: Color de fuente: Texto 1

Con formato: Color de fuente: Texto 1

Con formato: Color de fuente: Texto 1

Con formato ... [548]

Con formato: Color de fuente: Texto 1

Con formato: Color de fuente: Texto 1

Con formato: Color de fuente: Texto 1

Con formato: Color de fuente: Texto 1, Inglés (americano)

Con formato: Color de fuente: Texto 1

Con formato ... [549]

Con formato: Color de fuente: Texto 1

Con formato: Justificado

Con formato: Color de fuente: Texto 1

Con formato: Color de fuente: Texto 1

Con formato: Color de fuente: Texto 1

Eliminado:

Con formato: Color de fuente: Texto 1

Tran, N., Labroue, S., Philipps, S., Bronner, E., and Picot, N.: Overview and Update of the Sea State Bias Corrections for the Jason-2, Jason-1 and TOPEX Missions, 33, 348–362, <https://doi.org/10.1080/01490419.2010.487788>, 2010.

Con formato: Color de fuente: Texto 1

Con formato: Color de fuente: Texto 1

Con formato: Color de fuente: Texto 1

Tran, N., Philipps, S., Poisson, J.-C., Urien, S., Bronner, E., and Picot, N.: Impact of GDR D standards on SSB corrections, OSTST, Venice, Italie, http://www.aviso.altimetry.fr/fileadmin/documents/OSTST/2012/oral/02_friday_28/01_instr_processing_I/01_IP1_Tran.pdf, 2012.

Con formato: Color de fuente: Texto 1

Con formato: Color de fuente: Texto 1

Tran, N.: Rapport Annuel d'activité SALP - Activité SSB, 2015.

Con formato: Color de fuente: Texto 1

Con formato: Color de fuente: Texto 1

Tran, N.: Envisat ESL Phase-F: Tuning activities for Envisat reprocessing baseline v3.0 (Wind, SSB, Rain and Ice), 2017.

Con formato: Color de fuente: Texto 1

Con formato: Color de fuente: Texto 1

Tran, N.: ESL Cryosat-2: Tuning activities: wind speed and SSB, 2018.

Con formato: Color de fuente: Texto 1

Con formato: Color de fuente: Texto 1

Tran, N.: Rapport Annuel d'activité SALP - Activité SSB, 2019.

Con formato: Color de fuente: Texto 1

Con formato: Color de fuente: Texto 1

Valladeau, G., Legeais, J. F., Ablain, M., Guinehut, S., and Picot, N.: Comparing Altimetry with Tide Gauges and Argo Profiling Floats for Data Quality Assessment and Mean Sea Level Studies, Marine Geodesy, 35:sup1, 42-60, DOI: 10.1080/01490419.2012.718226, 2012.

Con formato: Color de fuente: Texto 1

Con formato: Color de fuente: Texto 1

Vignudelli, S., Birol, F., Benveniste, J., Fu, L.-L., Picot, N., Raynal, M., and Roinard, H.: Satellite Altimetry Measurements of Sea Level in the Coastal Zone. Surv. Geophys. 40. 1319–1349. <https://doi.org/10.1007/s10712-019-09569-1>, 2019.

Con formato: Color de fuente: Texto 1

Con formato: Color de fuente: Texto 1

Con formato: Color de fuente: Texto 1

Con formato: Color de fuente: Texto 1

Con formato: Color de fuente: Texto 1

Eliminado: 1

Von Schuckmann, K., Le Traon, P.-Y., Smith, N., Pascual, A., Brasseur, P.; Fennel, K., Djavidnia, S., Aaboe, S., Fanjul, E.A., Autret, E., et al.: Copernicus Marine Service Ocean State Report. J. Oper. Ocean., 11, S1–S142, 2018.

Con formato: Color de fuente: Texto 1, Sin Resaltar

Con formato: Justificado, Espacio Antes: 6 pto, Después: 6 pto

Wöppelmann, G.; Marcos, M.: Vertical land motion as a key to understanding sea level change and variability. Rev. Geophys., 54, 64–92, <https://doi.org/10.1002/2015RG000502>, 2016.

Con formato: Color de fuente: Texto 1

Con formato: Color de fuente: Texto 1, Inglés (americano), Sin Resaltar

Zaron, E. D.: Baroclinic Tidal Sea Level from Exact-Repeat Mission Altimetry, 49, 193–210, <https://doi.org/10.1175/JPO-D-18-0127.1>, 2019.

Con formato: Color de fuente: Texto 1

Con formato: Color de fuente: Texto 1

Con formato: Color de fuente: Texto 1

Con formato: Color de fuente: Texto 1, Inglés (americano)

Con formato: Color de fuente: Texto 1

Con formato: Sin subrayado, Color de fuente: Texto 1, Inglés (americano)

Con formato: Color de fuente: Texto 1

Con formato: Color de fuente: Texto 1

Con formato: Color de fuente: Texto 1

Con formato: Color de fuente: Texto 1

Con formato: Color de fuente: Texto 1

Con formato: Color de fuente: Texto 1

Con formato: Sin subrayado, Color de fuente: Texto 1, Inglés (americano)

Con formato: Color de fuente: Texto 1

Página 1: [1] Con formato	Microsoft Office User	13/4/23 16:25:00
Color de fuente: Texto 1, Inglés (americano)		
Página 1: [2] Con formato	Microsoft Office User	13/4/23 8:21:00
Justificado, Interlineado: sencillo		
Página 1: [3] Con formato	Microsoft Office User	13/4/23 16:25:00
Color de fuente: Texto 1		
Página 1: [4] Con formato	Microsoft Office User	13/4/23 8:21:00
Justificado		
Página 1: [5] Con formato	Microsoft Office User	13/4/23 16:25:00
Color de fuente: Texto 1, Inglés (americano)		
Página 1: [6] Con formato	Microsoft Office User	13/4/23 16:25:00
Color de fuente: Texto 1		
Página 1: [7] Con formato	Microsoft Office User	13/4/23 16:25:00
Color de fuente: Texto 1		
Página 1: [8] Con formato	Microsoft Office User	13/4/23 16:25:00
Color de fuente: Texto 1		
Página 1: [9] Con formato	Microsoft Office User	13/4/23 16:25:00
Color de fuente: Texto 1, Inglés (americano)		
Página 1: [10] Con formato	Microsoft Office User	13/4/23 16:25:00
Color de fuente: Texto 1, Inglés (americano)		
Página 1: [11] Con formato	Microsoft Office User	13/4/23 16:25:00
Color de fuente: Texto 1, Inglés (americano)		
Página 1: [12] Con formato	Microsoft Office User	13/4/23 16:25:00
Fuente: Cursiva, Color de fuente: Texto 1, Inglés (americano)		
Página 1: [13] Con formato	Microsoft Office User	13/4/23 16:25:00
Color de fuente: Texto 1, Inglés (americano)		
Página 1: [14] Con formato	Microsoft Office User	13/4/23 16:25:00
Fuente: Cursiva, Color de fuente: Texto 1, Inglés (americano)		
Página 1: [15] Con formato	Microsoft Office User	13/4/23 16:25:00
Color de fuente: Texto 1, Inglés (americano)		
Página 1: [16] Con formato	Microsoft Office User	13/4/23 16:25:00
Color de fuente: Texto 1		
Página 1: [17] Con formato	Microsoft Office User	13/4/23 16:25:00
Color de fuente: Texto 1, Inglés (americano)		
Página 1: [18] Con formato	Microsoft Office User	13/4/23 16:25:00
Color de fuente: Texto 1, Inglés (americano)		
Página 1: [19] Con formato	Microsoft Office User	13/4/23 16:25:00
Color de fuente: Texto 1, Inglés (americano)		
Página 1: [20] Con formato	Microsoft Office User	13/4/23 16:25:00
Fuente: Cursiva, Color de fuente: Texto 1, Inglés (americano)		
Página 1: [21] Con formato	Microsoft Office User	13/4/23 16:25:00
Color de fuente: Texto 1, Inglés (americano)		
Página 1: [22] Con formato	Microsoft Office User	13/4/23 16:25:00

Fuente: Cursiva, Color de fuente: Texto 1, Inglés (americano)

▲ **Página 1: [23] Con formato** **Microsoft Office User** **13/4/23 16:25:00**

Color de fuente: Texto 1, Inglés (americano)

▲ **Página 1: [24] Con formato** **Microsoft Office User** **13/4/23 16:25:00**

Color de fuente: Texto 1, Inglés (americano)

▲ **Página 1: [25] Con formato** **Microsoft Office User** **13/4/23 16:25:00**

Color de fuente: Texto 1, Inglés (americano)

▲ **Página 1: [26] Con formato** **Microsoft Office User** **13/4/23 16:25:00**

Fuente: Cursiva, Color de fuente: Texto 1, Inglés (americano)

▲ **Página 1: [27] Con formato** **Microsoft Office User** **13/4/23 16:25:00**

Color de fuente: Texto 1, Inglés (americano)

▲ **Página 1: [28] Con formato** **Microsoft Office User** **13/4/23 16:25:00**

Color de fuente: Texto 1, Inglés (americano)

▲ **Página 1: [29] Con formato** **Microsoft Office User** **13/4/23 16:25:00**

Color de fuente: Texto 1, Inglés (americano)

▲ **Página 1: [30] Con formato** **Microsoft Office User** **13/4/23 16:25:00**

Fuente: Cursiva, Color de fuente: Texto 1, Inglés (americano)

▲ **Página 1: [31] Con formato** **Microsoft Office User** **13/4/23 16:25:00**

Color de fuente: Texto 1, Inglés (americano)

▲ **Página 1: [32] Con formato** **Microsoft Office User** **13/4/23 16:25:00**

Color de fuente: Texto 1, Inglés (americano)

▲ **Página 1: [33] Con formato** **Microsoft Office User** **13/4/23 16:25:00**

Color de fuente: Texto 1, Inglés (americano)

▲ **Página 1: [34] Con formato** **Microsoft Office User** **13/4/23 16:25:00**

Color de fuente: Texto 1

▲ **Página 1: [35] Con formato** **Microsoft Office User** **13/4/23 16:25:00**

Color de fuente: Texto 1, Inglés (americano)

▲ **Página 1: [36] Con formato** **Microsoft Office User** **13/4/23 16:25:00**

Color de fuente: Texto 1, Inglés (americano)

▲ **Página 1: [37] Con formato** **Microsoft Office User** **13/4/23 16:25:00**

Fuente: Cursiva, Color de fuente: Texto 1, Inglés (americano)

▲ **Página 1: [38] Con formato** **Microsoft Office User** **13/4/23 16:25:00**

Color de fuente: Texto 1, Inglés (americano)

▲ **Página 1: [39] Con formato** **Microsoft Office User** **13/4/23 16:25:00**

Color de fuente: Texto 1, Inglés (americano)

▲ **Página 1: [40] Con formato** **Microsoft Office User** **13/4/23 16:25:00**

Color de fuente: Texto 1, Inglés (americano)

▲ **Página 4: [41] Con formato** **Microsoft Office User** **13/4/23 16:25:00**

Color de fuente: Texto 1, Inglés (americano)

▲ **Página 4: [42] Con formato** **Microsoft Office User** **13/4/23 16:25:00**

Color de fuente: Texto 1, Inglés (americano)

▲ **Página 4: [43] Con formato** **Microsoft Office User** **13/4/23 16:25:00**

Color de fuente: Texto 1, Inglés (americano)

Página 4: [44] Con formato	Microsoft Office User	13/4/23 16:25:00
Color de fuente: Texto 1		
Página 4: [44] Con formato	Microsoft Office User	13/4/23 16:25:00
Color de fuente: Texto 1		
Página 4: [45] Con formato	Microsoft Office User	13/4/23 16:25:00
Color de fuente: Texto 1, Inglés (americano)		
Página 4: [46] Con formato	Microsoft Office User	13/4/23 16:25:00
Color de fuente: Texto 1, Inglés (americano)		
Página 4: [47] Con formato	Microsoft Office User	13/4/23 16:25:00
Color de fuente: Texto 1, Inglés (americano)		
Página 4: [48] Con formato	Microsoft Office User	13/4/23 16:25:00
Color de fuente: Texto 1, Inglés (americano)		
Página 4: [49] Con formato	Microsoft Office User	13/4/23 16:25:00
Color de fuente: Texto 1, Inglés (americano)		
Página 4: [50] Con formato	Microsoft Office User	13/4/23 16:25:00
Color de fuente: Texto 1, Inglés (americano)		
Página 4: [51] Con formato	Microsoft Office User	13/4/23 16:25:00
Color de fuente: Texto 1, Inglés (americano)		
Página 4: [52] Con formato	Microsoft Office User	13/4/23 16:25:00
Color de fuente: Texto 1, Inglés (americano)		
Página 4: [53] Con formato	Microsoft Office User	13/4/23 16:25:00
Color de fuente: Texto 1, Inglés (americano)		
Página 4: [54] Con formato	Microsoft Office User	13/4/23 16:25:00
Color de fuente: Texto 1, Inglés (americano)		
Página 4: [55] Con formato	Microsoft Office User	13/4/23 16:25:00
Color de fuente: Texto 1, Inglés (americano)		
Página 4: [56] Con formato	Microsoft Office User	13/4/23 16:25:00
Color de fuente: Texto 1, Inglés (americano)		
Página 4: [57] Con formato	Microsoft Office User	13/4/23 16:25:00
Color de fuente: Texto 1		
Página 4: [57] Con formato	Microsoft Office User	13/4/23 16:25:00
Color de fuente: Texto 1		
Página 4: [58] Con formato	Microsoft Office User	13/4/23 16:25:00
Color de fuente: Texto 1, Inglés (americano)		
Página 4: [58] Con formato	Microsoft Office User	13/4/23 16:25:00
Color de fuente: Texto 1, Inglés (americano)		
Página 4: [58] Con formato	Microsoft Office User	13/4/23 16:25:00
Color de fuente: Texto 1, Inglés (americano)		
Página 4: [59] Con formato	Microsoft Office User	13/4/23 16:25:00
Color de fuente: Texto 1, Inglés (americano)		
Página 4: [60] Con formato	Microsoft Office User	13/4/23 16:25:00
Color de fuente: Texto 1, Inglés (americano)		

Página 4: [61] Con formato	Microsoft Office User	13/4/23 16:25:00
Color de fuente: Texto 1, Inglés (americano)		
Página 4: [62] Con formato	Microsoft Office User	13/4/23 16:25:00
Color de fuente: Texto 1, Inglés (americano)		
Página 4: [63] Con formato	Microsoft Office User	13/4/23 16:25:00
Color de fuente: Texto 1, Inglés (americano)		
Página 4: [64] Con formato	Microsoft Office User	13/4/23 16:25:00
Color de fuente: Texto 1, Inglés (americano)		
Página 4: [65] Con formato	Microsoft Office User	13/4/23 16:25:00
Color de fuente: Texto 1, Inglés (americano)		
Página 4: [66] Con formato	Microsoft Office User	13/4/23 16:25:00
Color de fuente: Texto 1, Inglés (americano)		
Página 4: [67] Con formato	Microsoft Office User	13/4/23 16:25:00
Color de fuente: Texto 1, Inglés (americano)		
Página 4: [68] Con formato	Microsoft Office User	13/4/23 16:25:00
Color de fuente: Texto 1, Inglés (americano)		
Página 4: [69] Con formato	Microsoft Office User	13/4/23 16:25:00
Color de fuente: Texto 1, Inglés (americano)		
Página 4: [70] Con formato	Microsoft Office User	13/4/23 16:25:00
Color de fuente: Texto 1, Inglés (americano)		
Página 4: [71] Con formato	Microsoft Office User	13/4/23 16:25:00
Color de fuente: Texto 1, Inglés (americano)		
Página 4: [72] Con formato	Microsoft Office User	13/4/23 16:25:00
Color de fuente: Texto 1, Inglés (americano)		
Página 4: [73] Con formato	Microsoft Office User	13/4/23 16:25:00
Color de fuente: Texto 1, Inglés (americano)		
Página 4: [74] Con formato	Microsoft Office User	13/4/23 16:25:00
Color de fuente: Texto 1		
Página 4: [74] Con formato	Microsoft Office User	13/4/23 16:25:00
Color de fuente: Texto 1		
Página 4: [75] Con formato	Microsoft Office User	13/4/23 16:25:00
Color de fuente: Texto 1, Inglés (americano)		
Página 4: [76] Con formato	Microsoft Office User	13/4/23 16:25:00
Color de fuente: Texto 1, Inglés (americano)		
Página 4: [77] Con formato	Microsoft Office User	13/4/23 16:25:00
Color de fuente: Texto 1, Inglés (americano)		
Página 4: [78] Con formato	Microsoft Office User	13/4/23 16:25:00
Color de fuente: Texto 1, Inglés (americano)		
Página 4: [79] Con formato	Microsoft Office User	13/4/23 16:25:00
Color de fuente: Texto 1, Inglés (americano)		
Página 6: [80] Eliminado	Microsoft Office User	12/4/23 12:20:00

Página 7: [81] Con formato	Microsoft Office User	13/4/23 16:25:00
Color de fuente: Texto 1		
Página 7: [82] Con formato	Microsoft Office User	13/4/23 14:45:00
Izquierda		
Página 7: [83] Con formato	Microsoft Office User	13/4/23 16:25:00
Color de fuente: Texto 1		
Página 7: [84] Con formato	Microsoft Office User	13/4/23 14:45:00
Izquierda		
Página 7: [85] Con formato	Microsoft Office User	13/4/23 16:25:00
Color de fuente: Texto 1		
Página 7: [86] Con formato	Microsoft Office User	13/4/23 14:45:00
Izquierda		
Página 7: [87] Con formato	Microsoft Office User	13/4/23 16:25:00
Color de fuente: Texto 1		
Página 7: [88] Con formato	Microsoft Office User	13/4/23 14:45:00
Izquierda		
Página 7: [89] Con formato	Microsoft Office User	13/4/23 16:25:00
Color de fuente: Texto 1		
Página 7: [90] Con formato	Microsoft Office User	13/4/23 14:45:00
Izquierda		
Página 7: [91] Con formato	Microsoft Office User	13/4/23 16:25:00
Color de fuente: Texto 1		
Página 7: [92] Con formato	Microsoft Office User	13/4/23 14:45:00
Izquierda		
Página 7: [93] Con formato	Microsoft Office User	13/4/23 16:25:00
Color de fuente: Texto 1		
Página 7: [94] Con formato	Microsoft Office User	13/4/23 14:45:00
Izquierda		
Página 7: [95] Con formato	Microsoft Office User	13/4/23 16:25:00
Color de fuente: Texto 1, Inglés (americano)		
Página 7: [96] Con formato	Microsoft Office User	13/4/23 8:21:00
Justificado		
Página 7: [97] Con formato	Microsoft Office User	13/4/23 16:25:00
Color de fuente: Texto 1, Inglés (americano)		
Página 7: [98] Con formato	Microsoft Office User	13/4/23 16:25:00
Color de fuente: Texto 1, Inglés (americano)		
Página 7: [99] Con formato	Microsoft Office User	13/4/23 16:25:00
Color de fuente: Texto 1, Inglés (americano)		
Página 7: [100] Con formato	Microsoft Office User	13/4/23 16:25:00
Color de fuente: Texto 1, Inglés (americano)		
Página 7: [101] Con formato	Microsoft Office User	13/4/23 16:25:00
Color de fuente: Texto 1, Inglés (americano)		
Página 7: [102] Con formato	Microsoft Office User	13/4/23 16:25:00

Color de fuente: Texto 1, Inglés (americano)

▲ **Página 7: [103] Con formato** **Microsoft Office User** **13/4/23 16:25:00**

Color de fuente: Texto 1, Inglés (americano)

▲ **Página 7: [104] Con formato** **Microsoft Office User** **13/4/23 16:25:00**

Color de fuente: Texto 1, Inglés (americano)

▲ **Página 7: [105] Con formato** **Microsoft Office User** **13/4/23 16:25:00**

Color de fuente: Texto 1, Inglés (americano)

▲ **Página 7: [106] Con formato** **Microsoft Office User** **13/4/23 16:25:00**

Color de fuente: Texto 1, Inglés (americano)

▲ **Página 7: [107] Con formato** **Microsoft Office User** **13/4/23 16:25:00**

Color de fuente: Texto 1, Inglés (americano)

▲ **Página 7: [108] Con formato** **Microsoft Office User** **13/4/23 16:25:00**

Color de fuente: Texto 1, Inglés (americano)

▲ **Página 7: [109] Con formato** **Microsoft Office User** **13/4/23 16:25:00**

Color de fuente: Texto 1, Inglés (americano)

▲ **Página 7: [110] Con formato** **Microsoft Office User** **13/4/23 16:25:00**

Color de fuente: Texto 1, Inglés (americano)

▲ **Página 7: [111] Con formato** **Microsoft Office User** **13/4/23 16:25:00**

Color de fuente: Texto 1, Inglés (americano)

▲ **Página 7: [112] Con formato** **Microsoft Office User** **13/4/23 16:25:00**

Color de fuente: Texto 1, Inglés (americano)

▲ **Página 7: [113] Con formato** **Microsoft Office User** **13/4/23 16:25:00**

Color de fuente: Texto 1, Inglés (americano)

▲ **Página 7: [114] Con formato** **Microsoft Office User** **13/4/23 16:25:00**

Color de fuente: Texto 1, Inglés (americano)

▲ **Página 7: [115] Con formato** **Microsoft Office User** **13/4/23 16:25:00**

Color de fuente: Texto 1

▲ **Página 7: [116] Con formato** **Microsoft Office User** **13/4/23 16:25:00**

Color de fuente: Texto 1

▲ **Página 7: [117] Con formato** **Microsoft Office User** **13/4/23 16:25:00**

Color de fuente: Texto 1

▲ **Página 7: [118] Con formato** **Microsoft Office User** **13/4/23 8:21:00**

Justificado

▲ **Página 7: [119] Con formato** **Microsoft Office User** **13/4/23 16:25:00**

Color de fuente: Texto 1, Inglés (americano)

▲ **Página 7: [120] Con formato** **Microsoft Office User** **13/4/23 16:25:00**

Fuente: Cursiva, Color de fuente: Texto 1, Inglés (americano)

▲ **Página 7: [121] Con formato** **Microsoft Office User** **13/4/23 16:25:00**

Color de fuente: Texto 1, Inglés (americano)

▲ **Página 7: [122] Con formato** **Microsoft Office User** **13/4/23 16:25:00**

Color de fuente: Texto 1, Inglés (americano)

▲ **Página 7: [123] Con formato** **Microsoft Office User** **13/4/23 16:25:00**

Color de fuente: Texto 1, Inglés (americano)

▲ Página 7: [124] Con formato	Microsoft Office User	13/4/23 16:25:00
Color de fuente: Texto 1, Inglés (americano)		
▲ Página 7: [125] Con formato	Microsoft Office User	13/4/23 16:25:00
Color de fuente: Texto 1, Inglés (americano)		
▲ Página 7: [126] Con formato	Microsoft Office User	13/4/23 16:25:00
Color de fuente: Texto 1, Inglés (americano)		
▲ Página 7: [127] Con formato	Microsoft Office User	13/4/23 16:25:00
Color de fuente: Texto 1, Inglés (americano)		
▲ Página 7: [128] Con formato	Microsoft Office User	13/4/23 16:25:00
Color de fuente: Texto 1, Inglés (americano)		
▲ Página 7: [129] Con formato	Microsoft Office User	13/4/23 16:25:00
Color de fuente: Texto 1, Inglés (americano)		
▲ Página 7: [130] Con formato	Microsoft Office User	13/4/23 16:25:00
Color de fuente: Texto 1, Inglés (americano)		
▲ Página 12: [131] Con formato	Microsoft Office User	13/4/23 16:25:00
Color de fuente: Texto 1, Inglés (americano)		
▲ Página 12: [132] Con formato	Microsoft Office User	13/4/23 16:25:00
Color de fuente: Texto 1, Inglés (americano)		
▲ Página 12: [133] Con formato	Microsoft Office User	13/4/23 16:25:00
Color de fuente: Texto 1, Inglés (americano)		
▲ Página 12: [134] Con formato	Microsoft Office User	13/4/23 16:25:00
Color de fuente: Texto 1, Inglés (americano)		
▲ Página 12: [135] Con formato	Microsoft Office User	13/4/23 16:25:00
Color de fuente: Texto 1, Inglés (americano)		
▲ Página 12: [136] Con formato	Microsoft Office User	13/4/23 16:25:00
Color de fuente: Texto 1, Inglés (americano)		
▲ Página 12: [137] Con formato	Microsoft Office User	13/4/23 16:25:00
Color de fuente: Texto 1, Inglés (americano)		
▲ Página 12: [138] Con formato	Microsoft Office User	13/4/23 16:25:00
Color de fuente: Texto 1		
▲ Página 12: [139] Con formato	Microsoft Office User	13/4/23 16:25:00
Color de fuente: Texto 1, Inglés (americano)		
▲ Página 12: [140] Con formato	Microsoft Office User	13/4/23 16:25:00
Color de fuente: Texto 1, Inglés (americano)		
▲ Página 12: [141] Con formato	Microsoft Office User	13/4/23 16:25:00
Color de fuente: Texto 1, Inglés (americano)		
▲ Página 12: [142] Con formato	Microsoft Office User	13/4/23 16:25:00
Color de fuente: Texto 1, Inglés (americano)		
▲ Página 12: [143] Con formato	Microsoft Office User	13/4/23 16:25:00
Fuente: Cursiva, Color de fuente: Texto 1, Inglés (americano)		
▲ Página 12: [144] Con formato	Microsoft Office User	13/4/23 16:25:00
Color de fuente: Texto 1, Inglés (americano)		

Página 12: [145] Eliminado	Microsoft Office User	12/4/23 12:19:00
▼		
Página 12: [146] Con formato	Microsoft Office User	13/4/23 16:25:00
Color de fuente: Texto 1, Inglés (americano)		
Página 12: [147] Con formato	Microsoft Office User	13/4/23 16:25:00
Color de fuente: Texto 1, Inglés (americano)		
Página 12: [148] Con formato	Microsoft Office User	13/4/23 16:25:00
Color de fuente: Texto 1, Inglés (americano)		
Página 12: [149] Con formato	Microsoft Office User	13/4/23 16:25:00
Color de fuente: Texto 1, Inglés (americano)		
Página 12: [150] Con formato	Microsoft Office User	13/4/23 16:25:00
Color de fuente: Texto 1, Inglés (americano)		
Página 12: [151] Con formato	Microsoft Office User	13/4/23 16:25:00
Color de fuente: Texto 1, Inglés (americano)		
Página 12: [152] Con formato	Microsoft Office User	13/4/23 16:25:00
Color de fuente: Texto 1, Inglés (americano)		
Página 12: [153] Con formato	Microsoft Office User	13/4/23 16:25:00
Color de fuente: Texto 1, Inglés (americano)		
Página 12: [154] Con formato	Microsoft Office User	13/4/23 16:25:00
Color de fuente: Texto 1, Inglés (americano)		
Página 12: [155] Con formato	Microsoft Office User	13/4/23 16:25:00
Color de fuente: Texto 1, Inglés (americano)		
Página 12: [156] Con formato	Microsoft Office User	13/4/23 16:25:00
Color de fuente: Texto 1, Inglés (americano)		
Página 12: [157] Con formato	Microsoft Office User	13/4/23 16:25:00
Color de fuente: Texto 1, Inglés (americano)		
Página 12: [158] Con formato	Microsoft Office User	13/4/23 16:25:00
Color de fuente: Texto 1, Inglés (americano)		
Página 12: [159] Con formato	Microsoft Office User	13/4/23 16:25:00
Color de fuente: Texto 1, Inglés (americano)		
Página 12: [160] Con formato	Microsoft Office User	13/4/23 16:25:00
Color de fuente: Texto 1, Inglés (americano)		
Página 12: [161] Con formato	Microsoft Office User	13/4/23 16:25:00
Color de fuente: Texto 1, Inglés (americano)		
Página 12: [162] Con formato	Microsoft Office User	13/4/23 16:25:00
Color de fuente: Texto 1, Inglés (americano)		
Página 12: [163] Con formato	Microsoft Office User	13/4/23 16:25:00
Color de fuente: Texto 1, Inglés (americano)		
Página 12: [164] Con formato	Microsoft Office User	13/4/23 16:25:00
Color de fuente: Texto 1, Inglés (americano)		
Página 12: [165] Con formato	Microsoft Office User	13/4/23 16:25:00

Color de fuente: Texto 1, Inglés (americano)

▲ Página 12: [166] Con formato Microsoft Office User 13/4/23 16:25:00

Color de fuente: Texto 1, Inglés (americano)

▲ Página 12: [167] Con formato Microsoft Office User 13/4/23 16:25:00

Color de fuente: Texto 1, Inglés (americano)

▲ Página 12: [168] Con formato Microsoft Office User 13/4/23 16:25:00

Color de fuente: Texto 1, Inglés (americano)

▲ Página 12: [169] Con formato Microsoft Office User 13/4/23 16:25:00

Color de fuente: Texto 1, Inglés (americano)

▲ Página 14: [170] Con formato Microsoft Office User 13/4/23 8:21:00

Justificado

▲ Página 14: [171] Con formato Microsoft Office User 13/4/23 16:25:00

Color de fuente: Texto 1, Inglés (americano)

▲ Página 14: [172] Con formato Microsoft Office User 13/4/23 16:25:00

Color de fuente: Texto 1, Inglés (americano)

▲ Página 14: [173] Con formato Microsoft Office User 13/4/23 16:25:00

Color de fuente: Texto 1, Inglés (americano)

▲ Página 14: [174] Con formato Microsoft Office User 13/4/23 16:25:00

Color de fuente: Texto 1, Inglés (americano)

▲ Página 14: [175] Con formato Microsoft Office User 13/4/23 16:25:00

Color de fuente: Texto 1, Inglés (americano)

▲ Página 14: [176] Con formato Microsoft Office User 13/4/23 16:25:00

Color de fuente: Texto 1, Inglés (americano)

▲ Página 14: [177] Con formato Microsoft Office User 13/4/23 16:25:00

Color de fuente: Texto 1, Inglés (americano)

▲ Página 14: [178] Con formato Microsoft Office User 13/4/23 16:25:00

Color de fuente: Texto 1, Inglés (americano)

▲ Página 14: [179] Con formato Microsoft Office User 13/4/23 16:25:00

Color de fuente: Texto 1, Inglés (americano)

▲ Página 14: [180] Con formato Microsoft Office User 13/4/23 16:25:00

Color de fuente: Texto 1, Inglés (americano)

▲ Página 14: [181] Con formato Microsoft Office User 13/4/23 16:25:00

Color de fuente: Texto 1, Inglés (americano)

▲ Página 14: [182] Con formato Microsoft Office User 13/4/23 16:25:00

Color de fuente: Texto 1, Inglés (americano)

▲ Página 14: [183] Con formato Microsoft Office User 13/4/23 16:25:00

Color de fuente: Texto 1, Inglés (americano)

▲ Página 14: [184] Con formato Microsoft Office User 13/4/23 16:25:00

Color de fuente: Texto 1, Inglés (americano)

▲ Página 14: [185] Con formato Microsoft Office User 13/4/23 16:25:00

Color de fuente: Texto 1, Inglés (americano)

▲ Página 14: [186] Con formato Microsoft Office User 13/4/23 16:25:00

Color de fuente: Texto 1, Inglés (americano)

Página 14: [187] Con formato	Microsoft Office User	13/4/23 16:25:00
Color de fuente: Texto 1, Inglés (americano)		
Página 14: [188] Con formato	Microsoft Office User	13/4/23 16:25:00
Color de fuente: Texto 1, Inglés (americano)		
Página 14: [189] Con formato	Microsoft Office User	13/4/23 16:25:00
Color de fuente: Texto 1, Inglés (americano)		
Página 14: [190] Con formato	Microsoft Office User	13/4/23 16:25:00
Color de fuente: Texto 1, Inglés (americano)		
Página 14: [191] Con formato	Microsoft Office User	13/4/23 16:25:00
Color de fuente: Texto 1, Inglés (americano)		
Página 14: [192] Con formato	Microsoft Office User	13/4/23 16:25:00
Color de fuente: Texto 1, Inglés (americano)		
Página 14: [193] Con formato	Microsoft Office User	13/4/23 16:25:00
Color de fuente: Texto 1, Inglés (americano)		
Página 14: [194] Con formato	Microsoft Office User	13/4/23 16:25:00
Color de fuente: Texto 1, Inglés (americano)		
Página 14: [195] Con formato	Microsoft Office User	13/4/23 16:25:00
Color de fuente: Texto 1, Inglés (americano)		
Página 14: [196] Con formato	Microsoft Office User	13/4/23 16:25:00
Color de fuente: Texto 1, Inglés (americano)		
Página 14: [197] Con formato	Microsoft Office User	13/4/23 16:25:00
Color de fuente: Texto 1, Inglés (americano)		
Página 14: [198] Con formato	Microsoft Office User	13/4/23 16:25:00
Color de fuente: Texto 1, Inglés (americano)		
Página 14: [199] Con formato	Microsoft Office User	13/4/23 16:25:00
Color de fuente: Texto 1, Inglés (americano)		
Página 14: [200] Con formato	Microsoft Office User	13/4/23 16:25:00
Color de fuente: Texto 1, Inglés (americano)		
Página 14: [201] Con formato	Microsoft Office User	13/4/23 16:25:00
Color de fuente: Texto 1, Inglés (americano)		
Página 14: [202] Con formato	Microsoft Office User	13/4/23 16:25:00
Color de fuente: Texto 1, Inglés (americano)		
Página 14: [203] Con formato	Microsoft Office User	13/4/23 16:25:00
Color de fuente: Texto 1, Inglés (americano)		
Página 14: [204] Con formato	Microsoft Office User	13/4/23 16:25:00
Color de fuente: Texto 1		
Página 14: [205] Con formato	Microsoft Office User	13/4/23 16:25:00
Color de fuente: Texto 1		
Página 14: [206] Con formato	Microsoft Office User	13/4/23 16:25:00
Color de fuente: Texto 1, Inglés (americano)		
Página 14: [207] Con formato	Microsoft Office User	13/4/23 8:21:00
Justificado		

Página 14: [208] Con formato	Microsoft Office User	13/4/23 16:25:00
Color de fuente: Texto 1		
Página 14: [208] Con formato	Microsoft Office User	13/4/23 16:25:00
Color de fuente: Texto 1		
Página 14: [209] Con formato	Microsoft Office User	13/4/23 16:25:00
Color de fuente: Texto 1, Inglés (americano)		
Página 14: [210] Con formato	Microsoft Office User	13/4/23 16:25:00
Color de fuente: Texto 1, Inglés (americano)		
Página 14: [211] Con formato	Microsoft Office User	13/4/23 16:25:00
Color de fuente: Texto 1, Inglés (americano)		
Página 14: [212] Con formato	Microsoft Office User	13/4/23 16:25:00
Color de fuente: Texto 1, Inglés (americano)		
Página 14: [213] Con formato	Microsoft Office User	13/4/23 16:25:00
Color de fuente: Texto 1, Inglés (americano)		
Página 14: [214] Con formato	Microsoft Office User	13/4/23 16:25:00
Color de fuente: Texto 1, Inglés (americano)		
Página 14: [215] Con formato	Microsoft Office User	13/4/23 16:25:00
Color de fuente: Texto 1, Inglés (americano)		
Página 14: [216] Con formato	Microsoft Office User	13/4/23 16:25:00
Color de fuente: Texto 1, Inglés (americano)		
Página 14: [217] Con formato	Microsoft Office User	13/4/23 16:25:00
Color de fuente: Texto 1, Inglés (americano)		
Página 14: [218] Con formato	Microsoft Office User	13/4/23 16:25:00
Color de fuente: Texto 1, Inglés (americano)		
Página 14: [219] Con formato	Microsoft Office User	13/4/23 16:25:00
Color de fuente: Texto 1, Inglés (americano)		
Página 14: [220] Con formato	Microsoft Office User	13/4/23 16:25:00
Color de fuente: Texto 1, Inglés (americano)		
Página 14: [221] Con formato	Microsoft Office User	13/4/23 16:25:00
Color de fuente: Texto 1, Inglés (americano)		
Página 14: [222] Con formato	Microsoft Office User	13/4/23 16:25:00
Color de fuente: Texto 1, Inglés (británico)		
Página 14: [222] Con formato	Microsoft Office User	13/4/23 16:25:00
Color de fuente: Texto 1, Inglés (británico)		
Página 16: [223] Con formato	Microsoft Office User	13/4/23 16:25:00
Color de fuente: Texto 1, Inglés (americano)		
Página 17: [224] Con formato	Microsoft Office User	21/3/23 9:22:00
Izquierda: 1 cm, Derecha: 2,36 cm, Arriba: 1,65 cm, Abajo: 4 cm, Ancho: 29,7 cm, Alto: 20,99 cm		
Página 17: [225] Con formato	Microsoft Office User	13/4/23 16:25:00
Fuente: 10 pto, Sin Negrita, Color de fuente: Texto 1, Inglés (americano)		
Página 17: [226] Con formato	Microsoft Office User	13/4/23 16:25:00
Color de fuente: Texto 1, Inglés (americano)		

Página 17: [227] Con formato	Microsoft Office User	13/4/23 16:25:00
Color de fuente: Texto 1		
Página 17: [228] Con formato	Microsoft Office User	13/4/23 16:25:00
Color de fuente: Texto 1		
Página 17: [229] Con formato	Microsoft Office User	13/4/23 8:21:00
Justificado		
Página 17: [230] Con formato	Microsoft Office User	13/4/23 16:25:00
Color de fuente: Texto 1		
Página 17: [231] Con formato	Microsoft Office User	13/4/23 8:21:00
Justificado		
Página 17: [232] Con formato	Microsoft Office User	13/4/23 16:25:00
Color de fuente: Texto 1, Inglés (americano)		
Página 17: [233] Con formato	Microsoft Office User	13/4/23 16:25:00
Color de fuente: Texto 1		
Página 17: [234] Con formato	Microsoft Office User	13/4/23 16:25:00
Color de fuente: Texto 1, Inglés (americano)		
Página 17: [235] Con formato	Microsoft Office User	13/4/23 16:25:00
Color de fuente: Texto 1		
Página 17: [236] Con formato	Microsoft Office User	13/4/23 16:25:00
Color de fuente: Texto 1		
Página 17: [237] Con formato	Microsoft Office User	13/4/23 8:21:00
Justificado		
Página 17: [238] Con formato	Microsoft Office User	13/4/23 16:25:00
Color de fuente: Texto 1, Inglés (americano)		
Página 17: [239] Con formato	Microsoft Office User	13/4/23 16:25:00
Color de fuente: Texto 1		
Página 17: [240] Con formato	Microsoft Office User	13/4/23 16:25:00
Color de fuente: Texto 1, Inglés (americano)		
Página 17: [241] Con formato	Microsoft Office User	13/4/23 16:25:00
Color de fuente: Texto 1		
Página 17: [242] Con formato	Microsoft Office User	13/4/23 16:25:00
Color de fuente: Texto 1		
Página 17: [243] Con formato	Microsoft Office User	13/4/23 8:21:00
Justificado		
Página 17: [244] Con formato	Microsoft Office User	13/4/23 16:25:00
Color de fuente: Texto 1, Inglés (americano)		
Página 17: [245] Con formato	Microsoft Office User	13/4/23 16:25:00
Color de fuente: Texto 1		
Página 17: [246] Con formato	Microsoft Office User	13/4/23 16:25:00
Color de fuente: Texto 1		
Página 17: [247] Con formato	Microsoft Office User	13/4/23 8:21:00
Justificado		
Página 17: [248] Con formato	Microsoft Office User	13/4/23 16:25:00

Color de fuente: Texto 1

▲ **Página 17: [249] Con formato** Microsoft Office User 13/4/23 8:21:00

Justificado

▲ **Página 17: [250] Con formato** Microsoft Office User 13/4/23 16:25:00

Color de fuente: Texto 1

▲ **Página 17: [251] Con formato** Microsoft Office User 13/4/23 8:21:00

Justificado

▲ **Página 17: [252] Con formato** Microsoft Office User 13/4/23 16:25:00

Color de fuente: Texto 1, Inglés (americano)

▲ **Página 19: [253] Con formato** Microsoft Office User 13/4/23 16:25:00

Color de fuente: Texto 1

▲ **Página 20: [254] Con formato** Microsoft Office User 13/4/23 8:21:00

Justificado, Espacio Antes: 0 pto, Después: 0 pto

▲ **Página 20: [255] Con formato** Microsoft Office User 13/4/23 16:25:00

Fuente: 10 pto, Sin Negrita, Color de fuente: Texto 1

▲ **Página 20: [256] Con formato** Microsoft Office User 13/4/23 16:25:00

Color de fuente: Texto 1

▲ **Página 20: [257] Con formato** Microsoft Office User 13/4/23 8:21:00

Justificado

▲ **Página 20: [258] Con formato** Microsoft Office User 13/4/23 16:25:00

Color de fuente: Texto 1

▲ **Página 20: [259] Con formato** Microsoft Office User 13/4/23 16:25:00

Color de fuente: Texto 1

▲ **Página 20: [259] Con formato** Microsoft Office User 13/4/23 16:25:00

Color de fuente: Texto 1

▲ **Página 20: [260] Con formato** Microsoft Office User 13/4/23 16:25:00

Color de fuente: Texto 1, Inglés (americano)

▲ **Página 20: [261] Con formato** Microsoft Office User 13/4/23 16:25:00

Color de fuente: Texto 1, Inglés (americano)

▲ **Página 20: [262] Con formato** Microsoft Office User 13/4/23 16:25:00

Color de fuente: Texto 1, Inglés (americano)

▲ **Página 20: [263] Con formato** Microsoft Office User 13/4/23 16:25:00

Color de fuente: Texto 1, Inglés (americano)

▲ **Página 20: [264] Con formato** Microsoft Office User 13/4/23 16:25:00

Color de fuente: Texto 1, Inglés (americano)

▲ **Página 20: [265] Con formato** Microsoft Office User 13/4/23 16:25:00

Color de fuente: Texto 1

▲ **Página 20: [266] Con formato** Microsoft Office User 13/4/23 16:25:00

Color de fuente: Texto 1

▲ **Página 20: [267] Con formato** Microsoft Office User 13/4/23 8:21:00

Justificado

▲ **Página 20: [268] Con formato** Microsoft Office User 13/4/23 16:25:00

Color de fuente: Texto 1

▲ Página 20: [269] Con formato	Microsoft Office User	13/4/23 8:21:00
Justificado		
▲ Página 20: [270] Con formato	Microsoft Office User	13/4/23 16:25:00
Color de fuente: Texto 1		
▲ Página 20: [271] Con formato	Microsoft Office User	13/4/23 8:21:00
Justificado		
▲ Página 20: [272] Con formato	Microsoft Office User	13/4/23 16:25:00
Color de fuente: Texto 1		
▲ Página 20: [273] Con formato	Microsoft Office User	13/4/23 8:21:00
Justificado		
▲ Página 20: [274] Con formato	Microsoft Office User	13/4/23 16:25:00
Color de fuente: Texto 1		
▲ Página 20: [275] Con formato	Microsoft Office User	13/4/23 8:21:00
Justificado		
▲ Página 20: [276] Con formato	Microsoft Office User	13/4/23 16:25:00
Color de fuente: Texto 1		
▲ Página 20: [277] Con formato	Microsoft Office User	13/4/23 8:21:00
Justificado		
▲ Página 20: [278] Con formato	Microsoft Office User	13/4/23 16:25:00
Color de fuente: Texto 1		
▲ Página 20: [279] Con formato	Microsoft Office User	13/4/23 8:21:00
Justificado		
▲ Página 20: [280] Con formato	Microsoft Office User	13/4/23 16:25:00
Color de fuente: Texto 1		
▲ Página 20: [281] Con formato	Microsoft Office User	13/4/23 8:21:00
Justificado		
▲ Página 20: [282] Con formato	Microsoft Office User	13/4/23 16:25:00
Color de fuente: Texto 1		
▲ Página 20: [283] Con formato	Microsoft Office User	13/4/23 8:21:00
Justificado		
▲ Página 20: [284] Con formato	Microsoft Office User	13/4/23 16:25:00
Color de fuente: Texto 1		
▲ Página 20: [285] Con formato	Microsoft Office User	13/4/23 8:21:00
Justificado		
▲ Página 20: [286] Con formato	Microsoft Office User	13/4/23 16:25:00
Color de fuente: Texto 1		
▲ Página 20: [287] Con formato	Microsoft Office User	13/4/23 8:21:00
Justificado		
▲ Página 20: [288] Con formato	Microsoft Office User	13/4/23 16:25:00
Color de fuente: Texto 1		
▲ Página 20: [289] Con formato	Microsoft Office User	13/4/23 8:21:00
Justificado		
▲		

Página 20: [290] Con formato	Microsoft Office User	13/4/23 16:25:00
Color de fuente: Texto 1		
Página 20: [291] Con formato	Microsoft Office User	13/4/23 8:21:00
Justificado		
Página 20: [292] Con formato	Microsoft Office User	13/4/23 16:25:00
Color de fuente: Texto 1		
Página 20: [293] Con formato	Microsoft Office User	13/4/23 8:21:00
Justificado		
Página 20: [294] Con formato	Microsoft Office User	13/4/23 16:25:00
Color de fuente: Texto 1		
Página 20: [295] Con formato	Microsoft Office User	13/4/23 8:21:00
Justificado		
Página 20: [296] Con formato	Microsoft Office User	13/4/23 16:25:00
Color de fuente: Texto 1		
Página 20: [297] Con formato	Microsoft Office User	13/4/23 8:21:00
Justificado		
Página 20: [298] Con formato	Microsoft Office User	13/4/23 16:25:00
Color de fuente: Texto 1		
Página 20: [299] Con formato	Microsoft Office User	13/4/23 8:21:00
Justificado		
Página 20: [300] Con formato	Microsoft Office User	13/4/23 16:25:00
Color de fuente: Texto 1		
Página 20: [301] Con formato	Microsoft Office User	13/4/23 8:21:00
Justificado		
Página 20: [302] Con formato	Microsoft Office User	13/4/23 16:25:00
Color de fuente: Texto 1		
Página 20: [303] Con formato	Microsoft Office User	13/4/23 8:21:00
Justificado		
Página 20: [304] Con formato	Microsoft Office User	13/4/23 16:25:00
Color de fuente: Texto 1		
Página 20: [305] Con formato	Microsoft Office User	13/4/23 8:21:00
Justificado		
Página 20: [306] Con formato	Microsoft Office User	13/4/23 16:25:00
Color de fuente: Texto 1		
Página 20: [307] Con formato	Microsoft Office User	13/4/23 8:21:00
Justificado		
Página 20: [308] Con formato	Microsoft Office User	13/4/23 16:25:00
Color de fuente: Texto 1		
Página 20: [309] Con formato	Microsoft Office User	13/4/23 8:21:00
Justificado		
Página 20: [310] Con formato	Microsoft Office User	13/4/23 16:25:00
Color de fuente: Texto 1		
Página 20: [311] Con formato	Microsoft Office User	13/4/23 8:21:00

Justificado

▲ **Página 20: [312] Con formato** Microsoft Office User 13/4/23 16:25:00

Color de fuente: Texto 1

▲ **Página 20: [313] Con formato** Microsoft Office User 13/4/23 8:21:00

Justificado

▲ **Página 20: [314] Con formato** Microsoft Office User 13/4/23 16:25:00

Color de fuente: Texto 1

▲ **Página 20: [315] Con formato** Microsoft Office User 13/4/23 8:21:00

Justificado

▲ **Página 20: [316] Con formato** Microsoft Office User 13/4/23 16:25:00

Color de fuente: Texto 1

▲ **Página 20: [317] Con formato** Microsoft Office User 13/4/23 8:21:00

Justificado

▲ **Página 20: [318] Con formato** Microsoft Office User 13/4/23 16:25:00

Color de fuente: Texto 1

▲ **Página 20: [319] Con formato** Microsoft Office User 13/4/23 8:21:00

Justificado

▲ **Página 20: [320] Con formato** Microsoft Office User 13/4/23 16:25:00

Color de fuente: Texto 1

▲ **Página 20: [321] Con formato** Microsoft Office User 13/4/23 8:21:00

Justificado

▲ **Página 21: [322] Con formato** Microsoft Office User 13/4/23 16:25:00

Color de fuente: Texto 1

▲ **Página 21: [323] Con formato** Microsoft Office User 13/4/23 8:21:00

Justificado

▲ **Página 21: [324] Con formato** Microsoft Office User 13/4/23 16:25:00

Color de fuente: Texto 1

▲ **Página 21: [325] Con formato** Microsoft Office User 13/4/23 8:21:00

Justificado

▲ **Página 21: [326] Con formato** Microsoft Office User 13/4/23 16:25:00

Color de fuente: Texto 1

▲ **Página 21: [327] Con formato** Microsoft Office User 13/4/23 8:21:00

Justificado

▲ **Página 21: [328] Con formato** Microsoft Office User 13/4/23 16:25:00

Color de fuente: Texto 1

▲ **Página 21: [329] Con formato** Microsoft Office User 13/4/23 8:21:00

Justificado

▲ **Página 21: [330] Con formato** Microsoft Office User 13/4/23 16:25:00

Color de fuente: Texto 1

▲ **Página 21: [331] Con formato** Microsoft Office User 13/4/23 8:21:00

Justificado

▲ **Página 21: [332] Con formato** Microsoft Office User 13/4/23 16:25:00

Color de fuente: Texto 1

Página 21: [333] Con formato	Microsoft Office User	13/4/23 8:21:00
Justificado		
Página 21: [334] Con formato	Microsoft Office User	13/4/23 16:25:00
Color de fuente: Texto 1		
Página 21: [335] Con formato	Microsoft Office User	13/4/23 8:21:00
Justificado		
Página 21: [336] Con formato	Microsoft Office User	13/4/23 16:25:00
Color de fuente: Texto 1		
Página 21: [337] Con formato	Microsoft Office User	13/4/23 8:21:00
Justificado		
Página 21: [338] Con formato	Microsoft Office User	13/4/23 16:25:00
Color de fuente: Texto 1		
Página 21: [339] Con formato	Microsoft Office User	13/4/23 8:21:00
Justificado		
Página 21: [340] Con formato	Microsoft Office User	13/4/23 16:25:00
Color de fuente: Texto 1		
Página 21: [341] Con formato	Microsoft Office User	13/4/23 8:21:00
Justificado		
Página 21: [342] Con formato	Microsoft Office User	13/4/23 16:25:00
Color de fuente: Texto 1		
Página 21: [343] Con formato	Microsoft Office User	13/4/23 8:21:00
Justificado		
Página 21: [344] Con formato	Microsoft Office User	13/4/23 16:25:00
Color de fuente: Texto 1		
Página 21: [345] Con formato	Microsoft Office User	13/4/23 8:21:00
Justificado		
Página 21: [346] Con formato	Microsoft Office User	13/4/23 16:25:00
Color de fuente: Texto 1		
Página 21: [347] Con formato	Microsoft Office User	13/4/23 8:21:00
Justificado		
Página 21: [348] Con formato	Microsoft Office User	13/4/23 16:25:00
Color de fuente: Texto 1		
Página 21: [349] Con formato	Microsoft Office User	13/4/23 8:21:00
Justificado		
Página 21: [350] Con formato	Microsoft Office User	13/4/23 16:25:00
Color de fuente: Texto 1		
Página 21: [351] Con formato	Microsoft Office User	13/4/23 8:21:00
Justificado		
Página 21: [352] Con formato	Microsoft Office User	13/4/23 16:25:00
Color de fuente: Texto 1		
Página 21: [353] Con formato	Microsoft Office User	13/4/23 8:21:00
Justificado		

Página 21: [354] Con formato	Microsoft Office User	13/4/23 16:25:00
Color de fuente: Texto 1		
Página 21: [355] Con formato	Microsoft Office User	13/4/23 8:21:00
Justificado		
Página 21: [356] Con formato	Microsoft Office User	13/4/23 16:25:00
Color de fuente: Texto 1		
Página 21: [357] Con formato	Microsoft Office User	13/4/23 8:21:00
Justificado		
Página 21: [358] Con formato	Microsoft Office User	13/4/23 16:25:00
Color de fuente: Texto 1		
Página 21: [359] Con formato	Microsoft Office User	13/4/23 8:21:00
Justificado		
Página 21: [360] Con formato	Microsoft Office User	13/4/23 16:25:00
Color de fuente: Texto 1		
Página 21: [361] Con formato	Microsoft Office User	13/4/23 8:21:00
Justificado		
Página 21: [362] Con formato	Microsoft Office User	13/4/23 16:25:00
Color de fuente: Texto 1		
Página 21: [363] Con formato	Microsoft Office User	13/4/23 8:21:00
Justificado		
Página 21: [364] Con formato	Microsoft Office User	13/4/23 16:25:00
Color de fuente: Texto 1		
Página 21: [365] Con formato	Microsoft Office User	13/4/23 8:21:00
Justificado		
Página 21: [366] Con formato	Microsoft Office User	13/4/23 16:25:00
Color de fuente: Texto 1		
Página 21: [367] Con formato	Microsoft Office User	13/4/23 8:21:00
Justificado		
Página 21: [368] Con formato	Microsoft Office User	13/4/23 16:25:00
Color de fuente: Texto 1		
Página 21: [369] Con formato	Microsoft Office User	13/4/23 8:21:00
Justificado		
Página 21: [370] Con formato	Microsoft Office User	13/4/23 16:25:00
Color de fuente: Texto 1		
Página 21: [371] Con formato	Microsoft Office User	13/4/23 8:21:00
Justificado		
Página 21: [372] Con formato	Microsoft Office User	13/4/23 16:25:00
Color de fuente: Texto 1		
Página 21: [373] Con formato	Microsoft Office User	13/4/23 8:21:00
Justificado		
Página 21: [374] Con formato	Microsoft Office User	13/4/23 16:25:00
Color de fuente: Texto 1		
Página 21: [375] Con formato	Microsoft Office User	13/4/23 8:21:00

Justificado

▲ **Página 21: [376] Con formato** Microsoft Office User 13/4/23 16:25:00

Color de fuente: Texto 1

▲ **Página 21: [377] Con formato** Microsoft Office User 13/4/23 8:21:00

Justificado

▲ **Página 21: [378] Con formato** Microsoft Office User 13/4/23 16:25:00

Color de fuente: Texto 1

▲ **Página 21: [379] Con formato** Microsoft Office User 13/4/23 8:21:00

Justificado

▲ **Página 21: [380] Con formato** Microsoft Office User 13/4/23 16:25:00

Color de fuente: Texto 1

▲ **Página 21: [381] Con formato** Microsoft Office User 13/4/23 8:21:00

Justificado

▲ **Página 21: [382] Con formato** Microsoft Office User 13/4/23 16:25:00

Color de fuente: Texto 1

▲ **Página 21: [383] Con formato** Microsoft Office User 13/4/23 8:21:00

Justificado

▲ **Página 21: [384] Con formato** Microsoft Office User 13/4/23 16:25:00

Color de fuente: Texto 1

▲ **Página 21: [385] Con formato** Microsoft Office User 13/4/23 8:21:00

Justificado

▲ **Página 21: [386] Con formato** Microsoft Office User 13/4/23 16:25:00

Color de fuente: Texto 1

▲ **Página 21: [387] Con formato** Microsoft Office User 13/4/23 8:21:00

Justificado

▲ **Página 22: [388] Con formato** Microsoft Office User 13/4/23 16:25:00

Color de fuente: Texto 1

▲ **Página 22: [389] Con formato** Microsoft Office User 13/4/23 8:21:00

Justificado

▲ **Página 22: [390] Con formato** Microsoft Office User 13/4/23 16:25:00

Color de fuente: Texto 1

▲ **Página 22: [391] Con formato** Microsoft Office User 13/4/23 8:21:00

Justificado

▲ **Página 22: [392] Con formato** Microsoft Office User 13/4/23 16:25:00

Color de fuente: Texto 1

▲ **Página 22: [393] Con formato** Microsoft Office User 13/4/23 8:21:00

Justificado

▲ **Página 22: [394] Con formato** Microsoft Office User 13/4/23 16:25:00

Color de fuente: Texto 1

▲ **Página 22: [395] Con formato** Microsoft Office User 13/4/23 8:21:00

Justificado

▲ **Página 22: [396] Con formato** Microsoft Office User 13/4/23 16:25:00

Color de fuente: Texto 1

Página 22: [397] Con formato	Microsoft Office User	13/4/23 8:21:00
Justificado		
Página 22: [398] Con formato	Microsoft Office User	13/4/23 16:25:00
Color de fuente: Texto 1		
Página 22: [399] Con formato	Microsoft Office User	13/4/23 8:21:00
Justificado		
Página 22: [400] Con formato	Microsoft Office User	13/4/23 16:25:00
Color de fuente: Texto 1		
Página 22: [401] Con formato	Microsoft Office User	13/4/23 8:21:00
Justificado		
Página 22: [402] Con formato	Microsoft Office User	13/4/23 16:25:00
Color de fuente: Texto 1		
Página 22: [403] Con formato	Microsoft Office User	13/4/23 8:21:00
Justificado		
Página 22: [404] Con formato	Microsoft Office User	13/4/23 16:25:00
Color de fuente: Texto 1		
Página 22: [405] Con formato	Microsoft Office User	13/4/23 8:21:00
Justificado		
Página 22: [406] Con formato	Microsoft Office User	13/4/23 16:25:00
Color de fuente: Texto 1		
Página 22: [407] Con formato	Microsoft Office User	13/4/23 8:21:00
Justificado		
Página 22: [408] Con formato	Microsoft Office User	13/4/23 16:25:00
Color de fuente: Texto 1		
Página 22: [409] Con formato	Microsoft Office User	13/4/23 8:21:00
Justificado		
Página 22: [410] Con formato	Microsoft Office User	13/4/23 16:25:00
Color de fuente: Texto 1		
Página 22: [411] Con formato	Microsoft Office User	13/4/23 8:21:00
Justificado		
Página 22: [412] Con formato	Microsoft Office User	13/4/23 16:25:00
Color de fuente: Texto 1		
Página 22: [413] Con formato	Microsoft Office User	13/4/23 8:21:00
Justificado		
Página 22: [414] Con formato	Microsoft Office User	13/4/23 16:25:00
Color de fuente: Texto 1		
Página 22: [415] Con formato	Microsoft Office User	13/4/23 8:21:00
Justificado		
Página 22: [416] Con formato	Microsoft Office User	13/4/23 16:25:00
Color de fuente: Texto 1		
Página 22: [417] Con formato	Microsoft Office User	13/4/23 8:21:00
Justificado		

Página 22: [418] Con formato	Microsoft Office User	13/4/23 16:25:00
Color de fuente: Texto 1		
Página 22: [419] Con formato	Microsoft Office User	13/4/23 8:21:00
Justificado		
Página 22: [420] Con formato	Microsoft Office User	13/4/23 16:25:00
Color de fuente: Texto 1		
Página 22: [421] Con formato	Microsoft Office User	13/4/23 8:21:00
Justificado		
Página 22: [422] Con formato	Microsoft Office User	13/4/23 16:25:00
Color de fuente: Texto 1		
Página 22: [423] Con formato	Microsoft Office User	13/4/23 8:21:00
Justificado		
Página 22: [424] Con formato	Microsoft Office User	13/4/23 16:25:00
Color de fuente: Texto 1		
Página 22: [425] Con formato	Microsoft Office User	13/4/23 8:21:00
Justificado		
Página 22: [426] Con formato	Microsoft Office User	13/4/23 16:25:00
Color de fuente: Texto 1		
Página 22: [427] Con formato	Microsoft Office User	13/4/23 8:21:00
Justificado		
Página 22: [428] Con formato	Microsoft Office User	13/4/23 16:25:00
Color de fuente: Texto 1		
Página 22: [429] Con formato	Microsoft Office User	13/4/23 8:21:00
Justificado		
Página 22: [430] Con formato	Microsoft Office User	13/4/23 16:25:00
Color de fuente: Texto 1		
Página 22: [431] Con formato	Microsoft Office User	13/4/23 8:21:00
Justificado		
Página 22: [432] Con formato	Microsoft Office User	13/4/23 16:25:00
Color de fuente: Texto 1		
Página 22: [433] Con formato	Microsoft Office User	13/4/23 8:21:00
Justificado		
Página 22: [434] Con formato	Microsoft Office User	13/4/23 16:25:00
Color de fuente: Texto 1		
Página 22: [435] Con formato	Microsoft Office User	13/4/23 8:21:00
Justificado		
Página 22: [436] Con formato	Microsoft Office User	13/4/23 16:25:00
Color de fuente: Texto 1		
Página 22: [437] Con formato	Microsoft Office User	13/4/23 8:21:00
Justificado		
Página 22: [438] Con formato	Microsoft Office User	13/4/23 16:25:00
Color de fuente: Texto 1		
Página 22: [439] Con formato	Microsoft Office User	13/4/23 8:21:00

Justificado

▲ **Página 22: [440] Con formato** Microsoft Office User 13/4/23 16:25:00

Color de fuente: Texto 1

▲ **Página 22: [441] Con formato** Microsoft Office User 13/4/23 8:21:00

Justificado

▲ **Página 22: [442] Con formato** Microsoft Office User 13/4/23 16:25:00

Color de fuente: Texto 1

▲ **Página 22: [443] Con formato** Microsoft Office User 13/4/23 8:21:00

Justificado

▲ **Página 22: [444] Con formato** Microsoft Office User 13/4/23 16:25:00

Color de fuente: Texto 1

▲ **Página 22: [445] Con formato** Microsoft Office User 13/4/23 8:21:00

Justificado

▲ **Página 22: [446] Con formato** Microsoft Office User 13/4/23 16:25:00

Color de fuente: Texto 1

▲ **Página 22: [447] Con formato** Microsoft Office User 13/4/23 8:21:00

Justificado

▲ **Página 22: [448] Con formato** Microsoft Office User 13/4/23 16:25:00

Color de fuente: Texto 1

▲ **Página 22: [449] Con formato** Microsoft Office User 13/4/23 8:21:00

Justificado

▲ **Página 22: [450] Con formato** Microsoft Office User 13/4/23 16:25:00

Color de fuente: Texto 1

▲ **Página 22: [451] Con formato** Microsoft Office User 13/4/23 8:21:00

Justificado

▲ **Página 23: [452] Con formato** Microsoft Office User 13/4/23 16:25:00

Color de fuente: Texto 1

▲ **Página 23: [453] Con formato** Microsoft Office User 13/4/23 8:21:00

Justificado

▲ **Página 23: [454] Con formato** Microsoft Office User 13/4/23 16:25:00

Color de fuente: Texto 1

▲ **Página 23: [455] Con formato** Microsoft Office User 13/4/23 8:21:00

Justificado

▲ **Página 23: [456] Con formato** Microsoft Office User 13/4/23 16:25:00

Color de fuente: Texto 1

▲ **Página 23: [457] Con formato** Microsoft Office User 13/4/23 8:21:00

Justificado

▲ **Página 23: [458] Con formato** Microsoft Office User 13/4/23 16:25:00

Color de fuente: Texto 1

▲ **Página 23: [459] Con formato** Microsoft Office User 13/4/23 8:21:00

Justificado

▲ **Página 23: [460] Con formato** Microsoft Office User 13/4/23 16:25:00

Color de fuente: Texto 1

Página 23: [461] Con formato	Microsoft Office User	13/4/23 8:21:00
Justificado		
Página 23: [462] Con formato	Microsoft Office User	13/4/23 16:25:00
Color de fuente: Texto 1		
Página 23: [463] Con formato	Microsoft Office User	13/4/23 8:21:00
Justificado		
Página 23: [464] Con formato	Microsoft Office User	13/4/23 16:25:00
Color de fuente: Texto 1		
Página 23: [465] Con formato	Microsoft Office User	13/4/23 8:21:00
Justificado		
Página 23: [466] Con formato	Microsoft Office User	13/4/23 16:25:00
Color de fuente: Texto 1		
Página 23: [467] Con formato	Microsoft Office User	13/4/23 8:21:00
Justificado		
Página 23: [468] Con formato	Microsoft Office User	13/4/23 16:25:00
Color de fuente: Texto 1		
Página 23: [469] Con formato	Microsoft Office User	13/4/23 8:21:00
Justificado		
Página 23: [470] Con formato	Microsoft Office User	13/4/23 16:25:00
Color de fuente: Texto 1		
Página 23: [471] Con formato	Microsoft Office User	13/4/23 8:21:00
Justificado		
Página 23: [472] Con formato	Microsoft Office User	13/4/23 16:25:00
Color de fuente: Texto 1		
Página 23: [473] Con formato	Microsoft Office User	13/4/23 8:21:00
Justificado		
Página 23: [474] Con formato	Microsoft Office User	13/4/23 16:25:00
Color de fuente: Texto 1		
Página 23: [475] Con formato	Microsoft Office User	13/4/23 8:21:00
Justificado		
Página 23: [476] Con formato	Microsoft Office User	13/4/23 16:25:00
Color de fuente: Texto 1		
Página 23: [477] Con formato	Microsoft Office User	13/4/23 8:21:00
Justificado		
Página 23: [478] Con formato	Microsoft Office User	13/4/23 16:25:00
Color de fuente: Texto 1		
Página 23: [479] Con formato	Microsoft Office User	13/4/23 8:21:00
Justificado		
Página 23: [480] Con formato	Microsoft Office User	13/4/23 16:25:00
Color de fuente: Texto 1		
Página 23: [481] Con formato	Microsoft Office User	13/4/23 8:21:00
Justificado		

Página 23: [482] Con formato	Microsoft Office User	13/4/23 16:25:00
Color de fuente: Texto 1		
Página 23: [483] Con formato	Microsoft Office User	13/4/23 8:21:00
Justificado		
Página 23: [484] Con formato	Microsoft Office User	13/4/23 16:25:00
Color de fuente: Texto 1		
Página 23: [485] Con formato	Microsoft Office User	13/4/23 8:21:00
Justificado		
Página 23: [486] Con formato	Microsoft Office User	13/4/23 16:25:00
Color de fuente: Texto 1		
Página 23: [487] Con formato	Microsoft Office User	13/4/23 8:21:00
Justificado		
Página 23: [488] Con formato	Microsoft Office User	13/4/23 16:25:00
Color de fuente: Texto 1		
Página 23: [489] Con formato	Microsoft Office User	13/4/23 8:21:00
Justificado		
Página 23: [490] Con formato	Microsoft Office User	13/4/23 16:25:00
Color de fuente: Texto 1, Inglés (americano)		
Página 23: [491] Con formato	Microsoft Office User	13/4/23 8:21:00
Justificado		
Página 23: [492] Con formato	Microsoft Office User	13/4/23 16:25:00
Color de fuente: Texto 1, Inglés (americano)		
Página 23: [493] Con formato	Microsoft Office User	13/4/23 16:25:00
Color de fuente: Texto 1, Inglés (americano)		
Página 23: [494] Con formato	Microsoft Office User	13/4/23 16:25:00
Color de fuente: Texto 1, Inglés (americano)		
Página 23: [495] Con formato	Microsoft Office User	13/4/23 16:25:00
Color de fuente: Texto 1, Inglés (americano)		
Página 23: [496] Con formato	Microsoft Office User	13/4/23 16:25:00
Color de fuente: Texto 1, Inglés (americano)		
Página 23: [497] Con formato	Microsoft Office User	13/4/23 16:25:00
Color de fuente: Texto 1, Inglés (americano)		
Página 23: [498] Con formato	Microsoft Office User	13/4/23 16:25:00
Color de fuente: Texto 1, Inglés (americano)		
Página 23: [499] Con formato	Microsoft Office User	13/4/23 16:25:00
Color de fuente: Texto 1		
Página 23: [500] Con formato	Microsoft Office User	13/4/23 16:25:00
Color de fuente: Texto 1, Inglés (americano)		
Página 23: [501] Con formato	Microsoft Office User	13/4/23 16:25:00
Color de fuente: Texto 1		
Página 23: [502] Con formato	Microsoft Office User	13/4/23 16:25:00
Color de fuente: Texto 1		
Página 23: [503] Con formato	Microsoft Office User	13/4/23 8:21:00

Justificado

▲ **Página 23: [504] Con formato** Microsoft Office User 13/4/23 16:25:00

Color de fuente: Texto 1

▲ **Página 23: [505] Con formato** Microsoft Office User 13/4/23 8:21:00

Justificado

▲ **Página 23: [506] Con formato** Microsoft Office User 13/4/23 16:25:00

Color de fuente: Texto 1

▲ **Página 23: [507] Con formato** Microsoft Office User 13/4/23 8:21:00

Justificado

▲ **Página 23: [508] Con formato** Microsoft Office User 13/4/23 16:25:00

Color de fuente: Texto 1

▲ **Página 23: [509] Con formato** Microsoft Office User 13/4/23 8:21:00

Justificado

▲ **Página 23: [510] Con formato** Microsoft Office User 13/4/23 16:25:00

Color de fuente: Texto 1

▲ **Página 23: [511] Con formato** Microsoft Office User 13/4/23 8:21:00

Justificado

▲ **Página 23: [512] Con formato** Microsoft Office User 13/4/23 16:25:00

Color de fuente: Texto 1

▲ **Página 23: [513] Con formato** Microsoft Office User 13/4/23 8:21:00

Justificado

▲ **Página 23: [514] Con formato** Microsoft Office User 13/4/23 16:25:00

Color de fuente: Texto 1

▲ **Página 23: [515] Con formato** Microsoft Office User 13/4/23 8:21:00

Justificado

▲ **Página 23: [516] Con formato** Microsoft Office User 13/4/23 16:25:00

Color de fuente: Texto 1

▲ **Página 23: [517] Con formato** Microsoft Office User 13/4/23 8:21:00

Justificado

▲ **Página 23: [518] Con formato** Microsoft Office User 13/4/23 16:25:00

Color de fuente: Texto 1

▲ **Página 23: [519] Con formato** Microsoft Office User 13/4/23 8:21:00

Justificado

▲ **Página 23: [520] Con formato** Microsoft Office User 13/4/23 16:25:00

Color de fuente: Texto 1

▲ **Página 23: [521] Con formato** Microsoft Office User 13/4/23 8:21:00

Justificado

▲ **Página 23: [522] Con formato** Microsoft Office User 13/4/23 16:25:00

Color de fuente: Texto 1

▲ **Página 23: [523] Con formato** Microsoft Office User 13/4/23 8:21:00

Justificado

▲ **Página 23: [524] Con formato** Microsoft Office User 13/4/23 16:25:00

Color de fuente: Texto 1

▲	Página 23: [525] Con formato	Microsoft Office User	13/4/23 8:21:00
	Justificado		
▲	Página 23: [526] Con formato	Microsoft Office User	13/4/23 16:25:00
	Color de fuente: Texto 1		
▲	Página 23: [527] Con formato	Microsoft Office User	13/4/23 8:21:00
	Justificado		
▲	Página 23: [528] Con formato	Microsoft Office User	13/4/23 16:25:00
	Color de fuente: Texto 1		
▲	Página 23: [529] Con formato	Microsoft Office User	13/4/23 8:21:00
	Justificado		
▲	Página 23: [530] Con formato	Microsoft Office User	13/4/23 16:25:00
	Color de fuente: Texto 1		
▲	Página 23: [531] Con formato	Microsoft Office User	13/4/23 8:21:00
	Justificado		
▲	Página 23: [532] Con formato	Microsoft Office User	13/4/23 16:25:00
	Color de fuente: Texto 1		
▲	Página 23: [533] Con formato	Microsoft Office User	13/4/23 8:21:00
	Justificado		
▲	Página 23: [534] Con formato	Microsoft Office User	13/4/23 16:25:00
	Color de fuente: Texto 1		
▲	Página 23: [535] Con formato	Microsoft Office User	13/4/23 8:21:00
	Justificado		
▲	Página 23: [536] Con formato	Microsoft Office User	13/4/23 16:25:00
	Color de fuente: Texto 1		
▲	Página 23: [537] Con formato	Microsoft Office User	13/4/23 8:21:00
	Justificado		
▲	Página 27: [538] Con formato	Microsoft Office User	13/4/23 16:25:00
	Color de fuente: Texto 1		
▲	Página 27: [538] Con formato	Microsoft Office User	13/4/23 16:25:00
	Color de fuente: Texto 1		
▲	Página 27: [539] Con formato	Microsoft Office User	13/4/23 16:25:00
	Color de fuente: Texto 1		
▲	Página 27: [539] Con formato	Microsoft Office User	13/4/23 16:25:00
	Color de fuente: Texto 1		
▲	Página 27: [540] Con formato	Microsoft Office User	13/4/23 16:25:00
	Fuente: Sin Negrita, Color de fuente: Texto 1		
▲	Página 27: [540] Con formato	Microsoft Office User	13/4/23 16:25:00
	Fuente: Sin Negrita, Color de fuente: Texto 1		
▲	Página 27: [540] Con formato	Microsoft Office User	13/4/23 16:25:00
	Fuente: Sin Negrita, Color de fuente: Texto 1		
▲	Página 27: [541] Con formato	Microsoft Office User	13/4/23 16:25:00
	Fuente: 12 pto		

Página 27: [541] Con formato	Microsoft Office User	13/4/23 16:25:00
Fuente: 12 pto		
Página 27: [541] Con formato	Microsoft Office User	13/4/23 16:25:00
Fuente: 12 pto		
Página 27: [542] Con formato	Microsoft Office User	13/4/23 16:25:00
Color de fuente: Texto 1, Inglés (americano)		
Página 27: [542] Con formato	Microsoft Office User	13/4/23 16:25:00
Color de fuente: Texto 1, Inglés (americano)		
Página 27: [542] Con formato	Microsoft Office User	13/4/23 16:25:00
Color de fuente: Texto 1, Inglés (americano)		
Página 27: [543] Con formato	Microsoft Office User	13/4/23 16:25:00
Color de fuente: Texto 1		
Página 27: [543] Con formato	Microsoft Office User	13/4/23 16:25:00
Color de fuente: Texto 1		
Página 27: [543] Con formato	Microsoft Office User	13/4/23 16:25:00
Color de fuente: Texto 1		
Página 27: [543] Con formato	Microsoft Office User	13/4/23 16:25:00
Color de fuente: Texto 1		
Página 27: [544] Con formato	Microsoft Office User	13/4/23 16:25:00
Color de fuente: Texto 1		
Página 27: [544] Con formato	Microsoft Office User	13/4/23 16:25:00
Color de fuente: Texto 1		
Página 27: [545] Eliminado	Microsoft Office User	12/4/23 12:19:00
x		
Página 27: [546] Con formato	Microsoft Office User	13/4/23 16:25:00
Color de fuente: Texto 1		
Página 27: [546] Con formato	Microsoft Office User	13/4/23 16:25:00
Color de fuente: Texto 1		
Página 27: [546] Con formato	Microsoft Office User	13/4/23 16:25:00
Color de fuente: Texto 1		
Página 27: [547] Con formato	Microsoft Office User	13/4/23 16:25:00
Color de fuente: Texto 1		
Página 27: [547] Con formato	Microsoft Office User	13/4/23 16:25:00
Color de fuente: Texto 1		
Página 28: [548] Con formato	Microsoft Office User	13/4/23 16:25:00
Color de fuente: Texto 1, Inglés (americano), Sin Resaltar		
Página 28: [549] Con formato	Microsoft Office User	13/4/23 16:25:00
Color de fuente: Texto 1, Inglés (americano), Sin Resaltar		